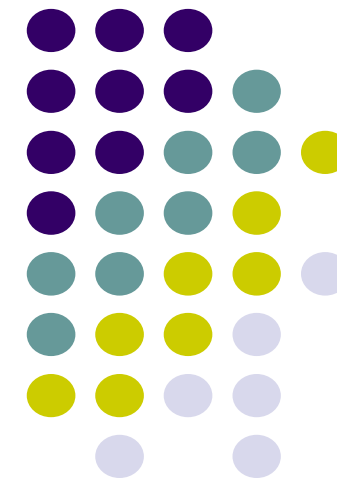


Δυναμική & Ρύθμιση Διεργασιών

Διάλεξη 14:
Αναγνώριση συστημάτων



Βήματα της Ρύθμισης Διεργασιών, μέρος Α



1. Καθορίστε τη διεργασία που εξετάζεται

- a. Διατύπωση υποθέσεων
- b. Ταξινόμηση μεταβλητών (χειριζόμενες, διαταραχές, εσωτερικές, ελεγχόμενες, μετρούμενες)
- c. Διατύπωση μοντέλου διεργασίας
- d. Προσδιορισμός του επιθυμητού σημείου λειτουργίας
- e. Διατύπωση περιγραφής χώρου κατάστασης
- f. Διατύπωση περιγραφής συναρτήσεων μεταφοράς
- g. **Αναγνώριση διεργασιών (αν χρειάζεται)**

2. Ανάλυση Διεργασίας

- a. Ανάλυση παρατηρησιμότητας
- b. Ανάλυση ελεγχιμότητας / ρυθμισιμότητας
- c. Ανάλυση ευστάθειας
- d. Ανάλυση δυναμικής συμπεριφοράς
 - a. Απόκριση σε παλμική αλλαγή
 - b. Απόκριση σε ημιτονική αλλαγή

Εξερεύνηση δυναμικής συμπεριφοράς



- Η δυναμική συμπεριφορά του συστήματος είναι απαραίτητο να κατανοηθεί για εγγυηθεί η ασφαλής και επιτυχής λειτουργία διεργασίας.
 - Να βρεθεί ο ελάχιστος αριθμός μεταβλητών που να την περιγράφουν (προσεγγιστικά).
- Για την εξερεύνηση της δυναμικής συμπεριφοράς του συστήματος πρότυπες μεταβολές της εισόδου χρησιμοποιούνται.
 - Βήμα
 - Παλμός / Κρουστικός παλμός
 - Γραμμική μεταβολή
 - Ημίτονο
- Είναι όμως εύκολο να έχουμε μια περιγραφή για το σύστημα;
 - Ο εξοπλισμός επηρεάζει την περιγραφή: Πρέπει να έχουμε την περιγραφή του
 - Η κατασκευή μοντέλου μιας διεργασίας μέσω ισοζυγίων μπορεί να είναι δύσκολη

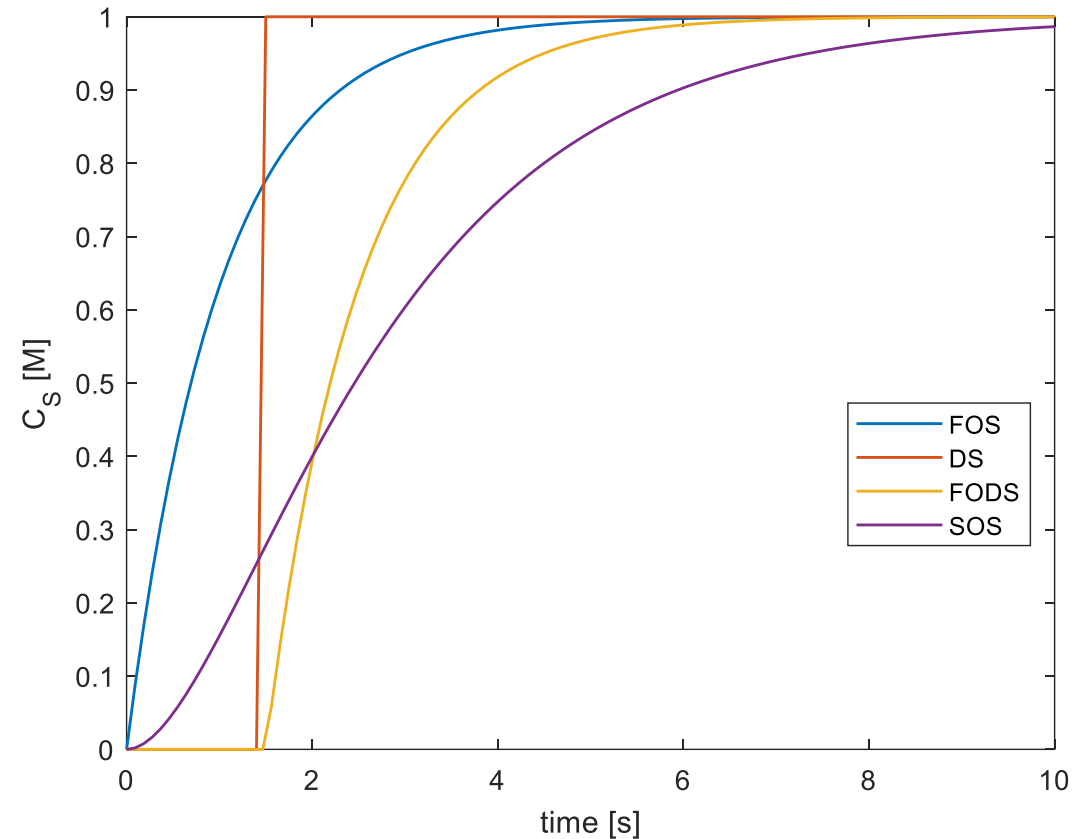
Κατασκευή εμπειρικού μοντέλου για χρήση στην ανάλυση και ρύθμιση

Εξερεύνηση δυναμικής συμπεριφοράς



- Η μεταβατική συμπεριφορά του συστήματος είναι απαραίτητο να κατανοηθεί και να βρεθεί ένα ελάχιστος αριθμός μεταβλητών που να την περιγράφουν (προσεγγιστικά).

	ΠΧΚ	ΠΕΕ
DS	$y(t) = Ku(t - \theta)$	$y(t) = Ku(t - \theta)$
FOS	$\tau \frac{dy}{dt} = -y + Ku(t)$	$\tau \frac{dy}{dt} + y = Ku(t)$
FODS	$\tau \frac{dy}{dt} = -y + Ku(t - \theta)$	$\tau \frac{dy}{dt} + y = Ku(t - \theta)$
SODS	$\tau \frac{dy_1}{dt} = -y_1 + Ku(t - \theta)$ $\tau_2 \frac{dy_2}{dt} = -y_2 + y_1$	$\tau \frac{d^2y}{dt^2} + \tau\zeta \frac{dy}{dt} + y = Ku(t - \theta)$



Εξερεύνηση δυναμικής συμπεριφοράς



- Η μεταβατική συμπεριφορά του συστήματος είναι απαραίτητο να κατανοηθεί και να βρεθεί ένα ελάχιστος αριθμός μεταβλητών που να την περιγράφουν (προσεγγιστικά).

• ΠΧΚ

DS

$$y(t) = Ku(t - \theta)$$

ΠΣΜ

$$Y(s) = Ke^{-\theta s}U(s)$$

FOS

$$\tau \frac{dy}{dt} = -y + Ku(t)$$

$$Y(s) = \frac{K}{\tau s + 1} U(s)$$

FODS

$$\tau \frac{dy}{dt} = -y + Ku(t - \theta)$$

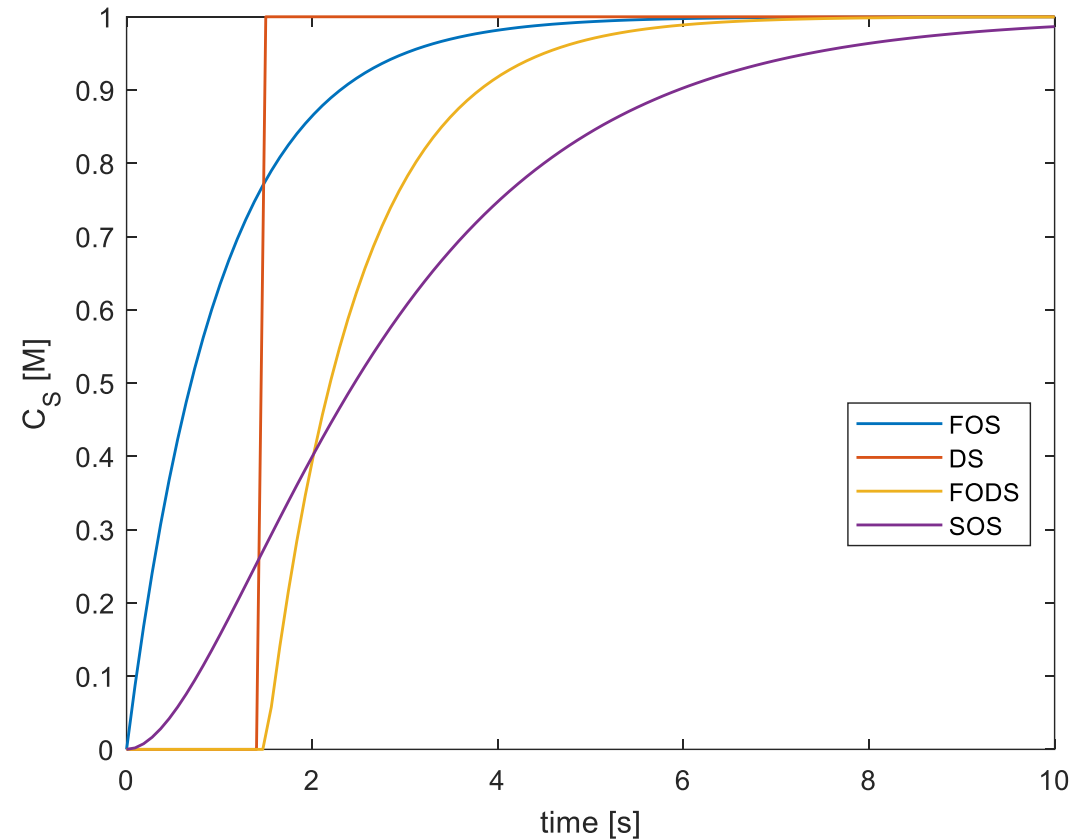
$$Y(s) = \frac{Ke^{-\theta s}}{\tau s + 1} U(s)$$

SODS

$$\tau \frac{dy_1}{dt} = -y_1 + Ku(t - \theta)$$

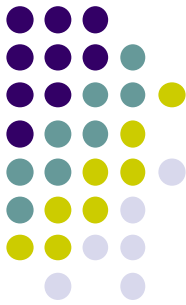
$$\tau_2 \frac{dy_2}{dt} = -y_2 + y_1$$

$$Y(s) = \frac{Ke^{-\theta s}}{\tau^2 s^2 + 2\zeta\tau s + 1} U(s)$$

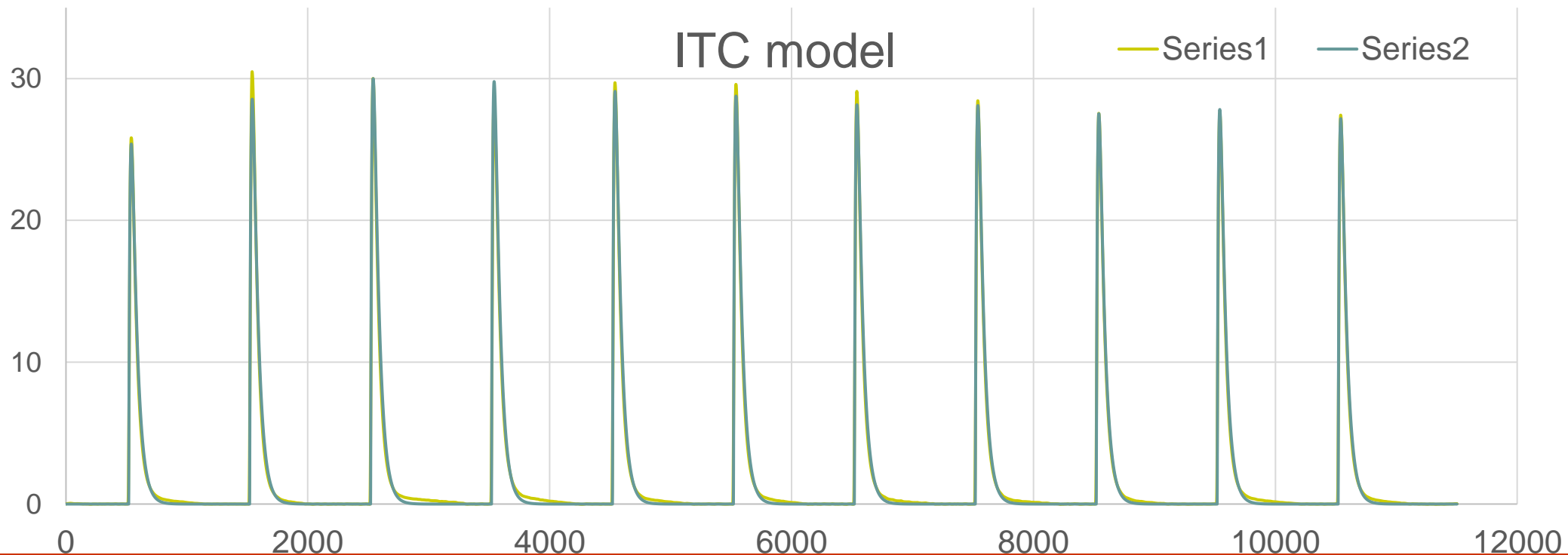


Κατασκευή δυναμικού μοντέλου

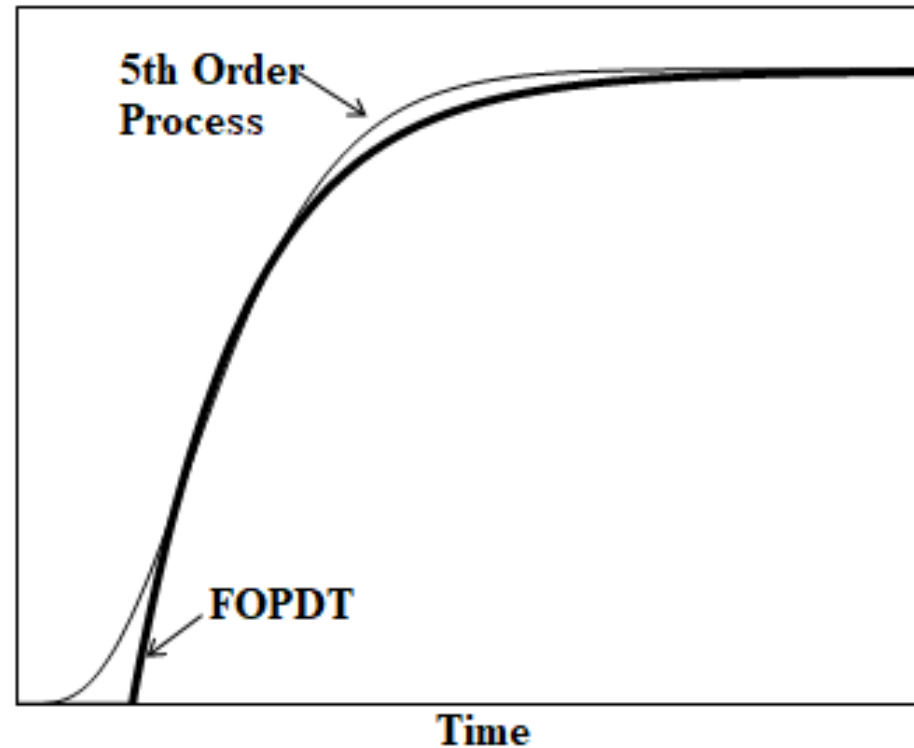
1. Εξασφαλίστε ότι η διεργασία είναι ασφαλής
2. Εισάγετε διάφορα σήματα εισόδου (διέγερση της διεργασίας)
3. Συλλέξτε δεδομένα
4. Λύστε πρόβλημα παραμετρικής βελτιστοποίησης



Data and Model Output Comparison

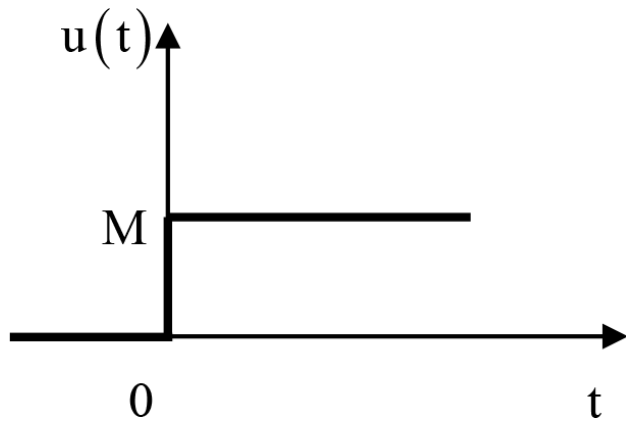
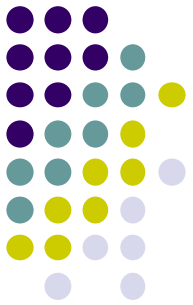


Αναγνώριση συστήματος FOPDT (=FODS).



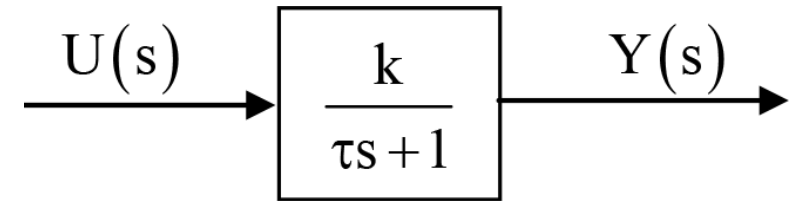
- Συστήματα υψηλής τάξης αντιπροσωπεύονται καλά από τα μοντέλα FOPDT. Ως αποτέλεσμα, τα μοντέλα FOPDT κάνουν καλύτερη δουλειά στην προσέγγιση των βιομηχανικών διεργασιών από άλλα εξιδανικευμένα δυναμικά μοντέλα.
- **Οι διεργασίες δεν παρουσιάζουν σημαντικές ταλαντώσεις ή σημαντικές αντίστροφες αποκρίσεις.**

Απόκριση συστήματος 1^{ης} τάξης σε βηματική μεταβολή της εισόδου



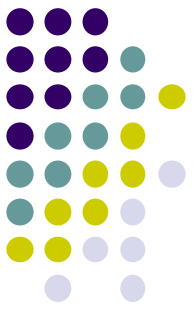
$$u(t) = \begin{cases} 0 & , t < 0 \\ M & , t \geq 0 \end{cases}$$

$$U(s) = \frac{M}{s}$$

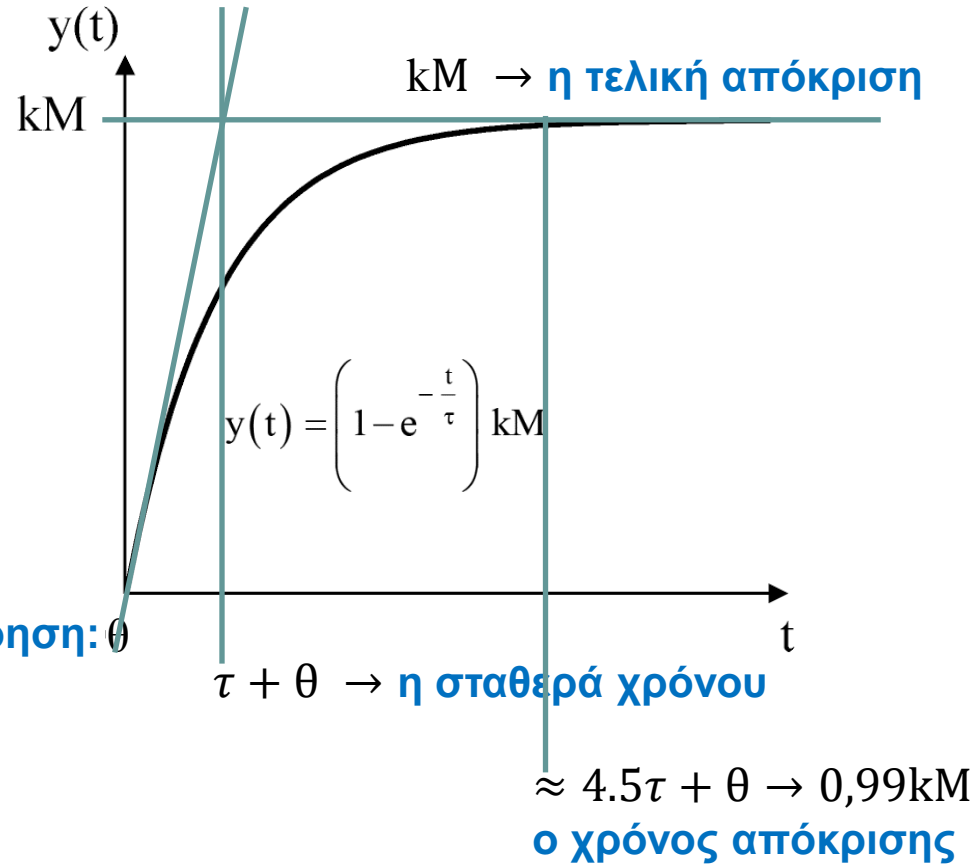


$$Y(s) = \frac{k}{\tau s + 1} \cdot \frac{M}{s} = \frac{k \frac{M}{\tau}}{\left(s + \frac{1}{\tau}\right) s} = \frac{kM}{s} - \frac{kM}{s + \frac{1}{\tau}} \quad \Rightarrow \quad y(t) = \left(1 - e^{-\frac{t}{\tau}}\right) kM$$

Αναγνώριση παραμέτρων FODS. Τρόπος Α

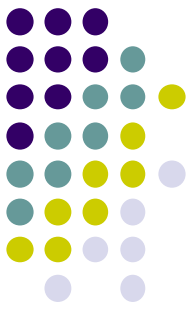


Αναγνώριση από την τελική απόκριση και από την αρχική κλήση (ή καλύτερα τον χρόνο απόκρισης)

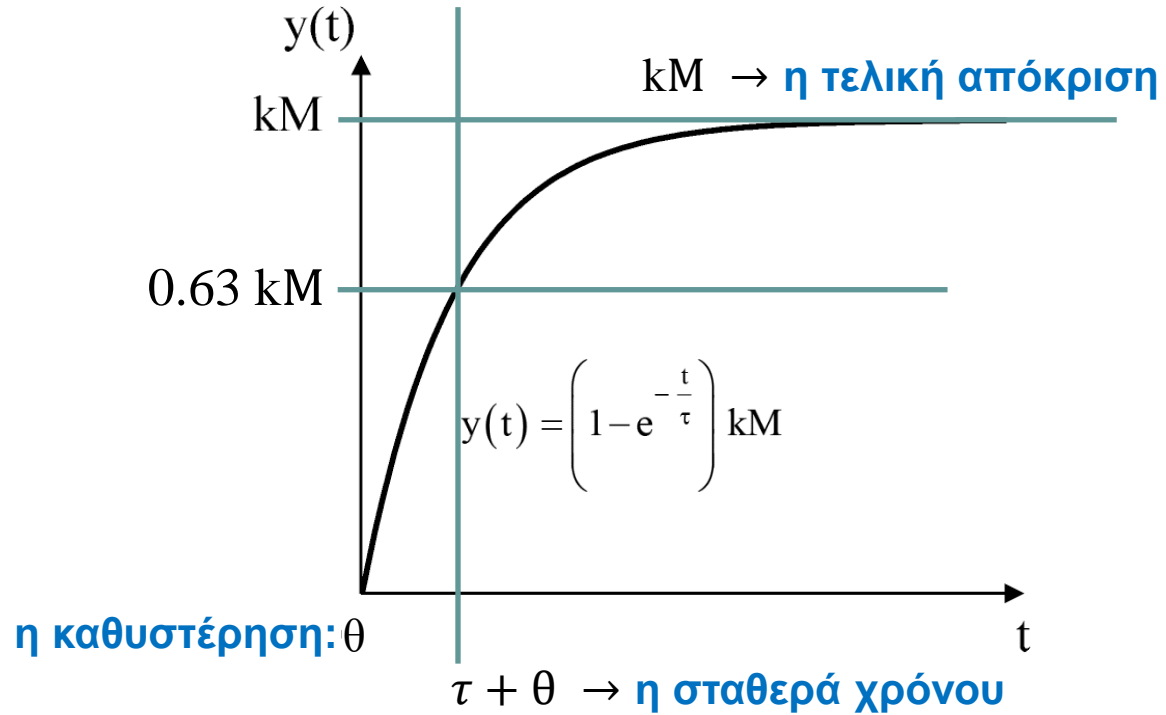


t	$y(t) / kM$
0	0
τ	0,632
2τ	0,865
3τ	0,950
4τ	0,982
5τ	0,993

Αναγνώριση παραμέτρων FODS. Τρόπος Β

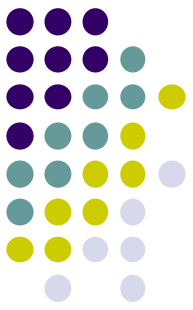


Αναγνώριση από την τελική απόκριση και από τον χρόνο 63% απόκρισης

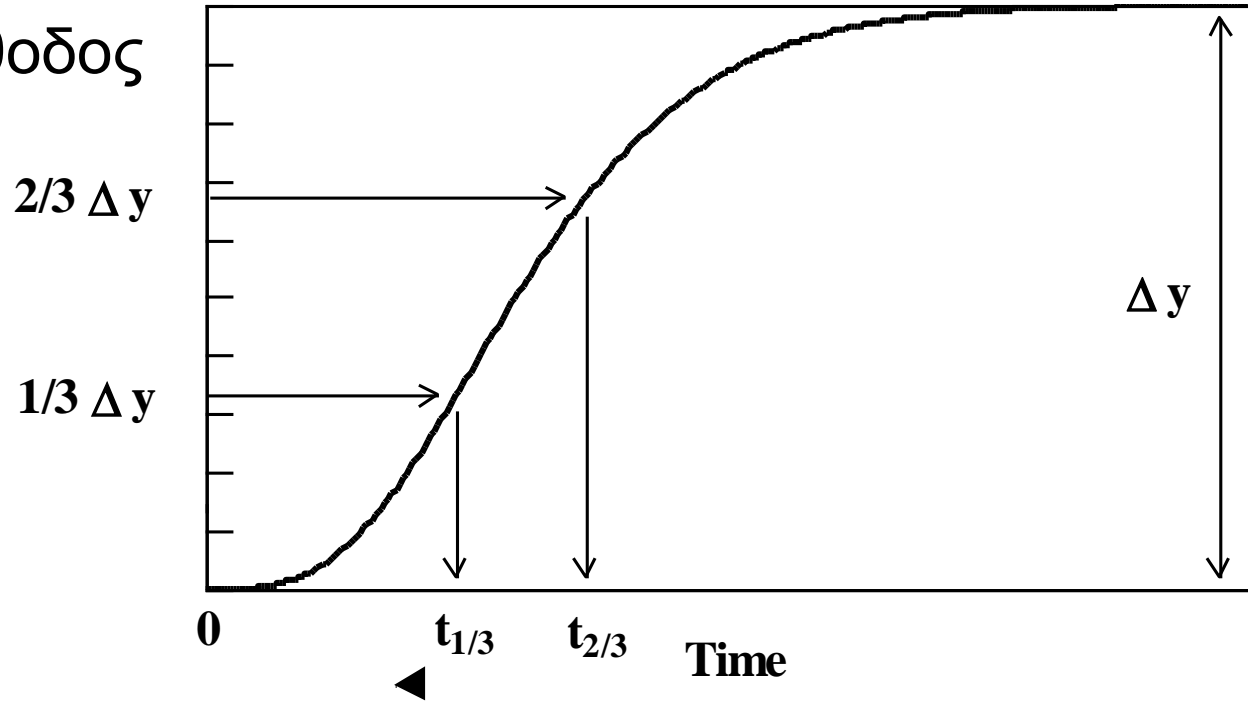


t	$y(t) / kM$
0	0
τ	0,632
2τ	0,865
3τ	0,950
4τ	0,982
5τ	0,993

Αναγνώριση παραμέτρων FODS. Τρόπος Γ



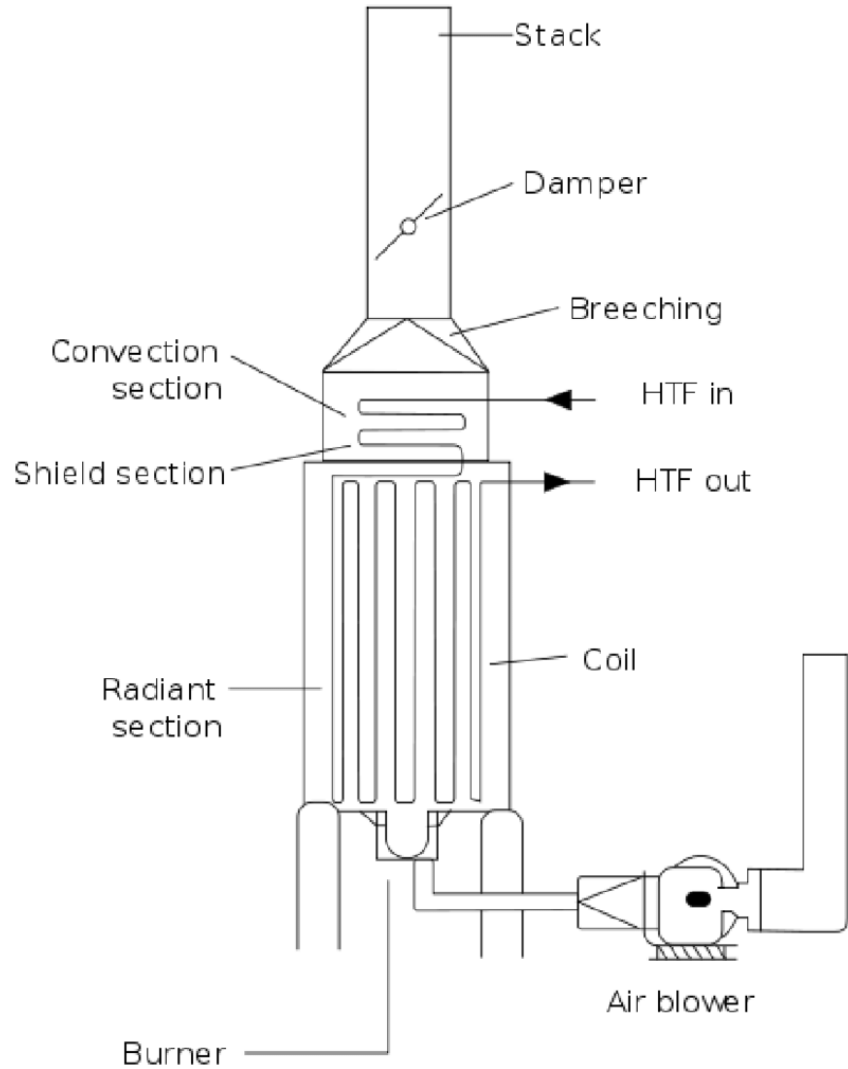
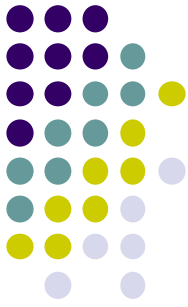
Η 1/3 2/3 μέθοδος



- Προσδιορίστε το χρόνο έως το ένα τρίτο της συνολικής αλλαγής και το χρόνο έως τα δύο τρίτα της συνολικής αλλαγής μετά από μια αλλαγή εισόδου

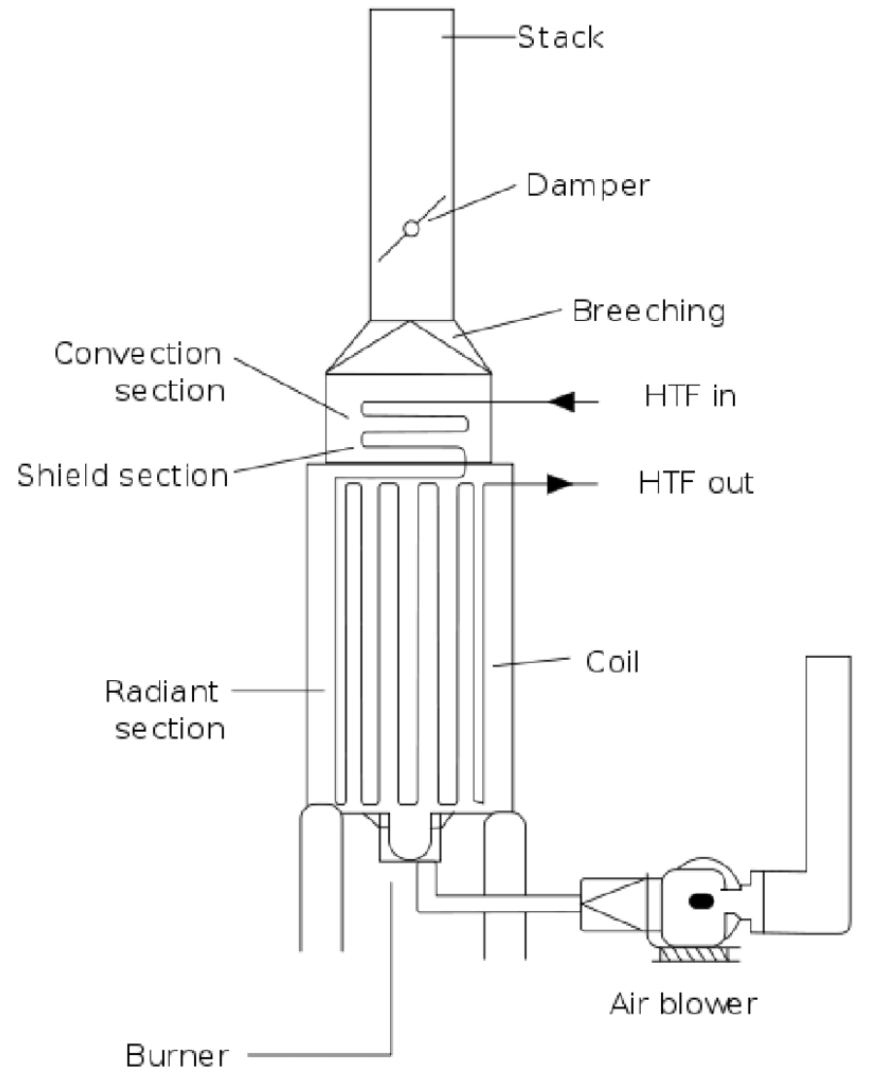
- Παράμετροι FODS: $\tau_p = \frac{t_{2/3} - t_{1/3}}{0.7}$ $\theta_p = t_{1/3} - 0.4\tau_p$ $K_p = \frac{\Delta y}{\Delta u} = \frac{y(\infty) - y(0)}{M}$

Παράδειγμα: Φούρνος

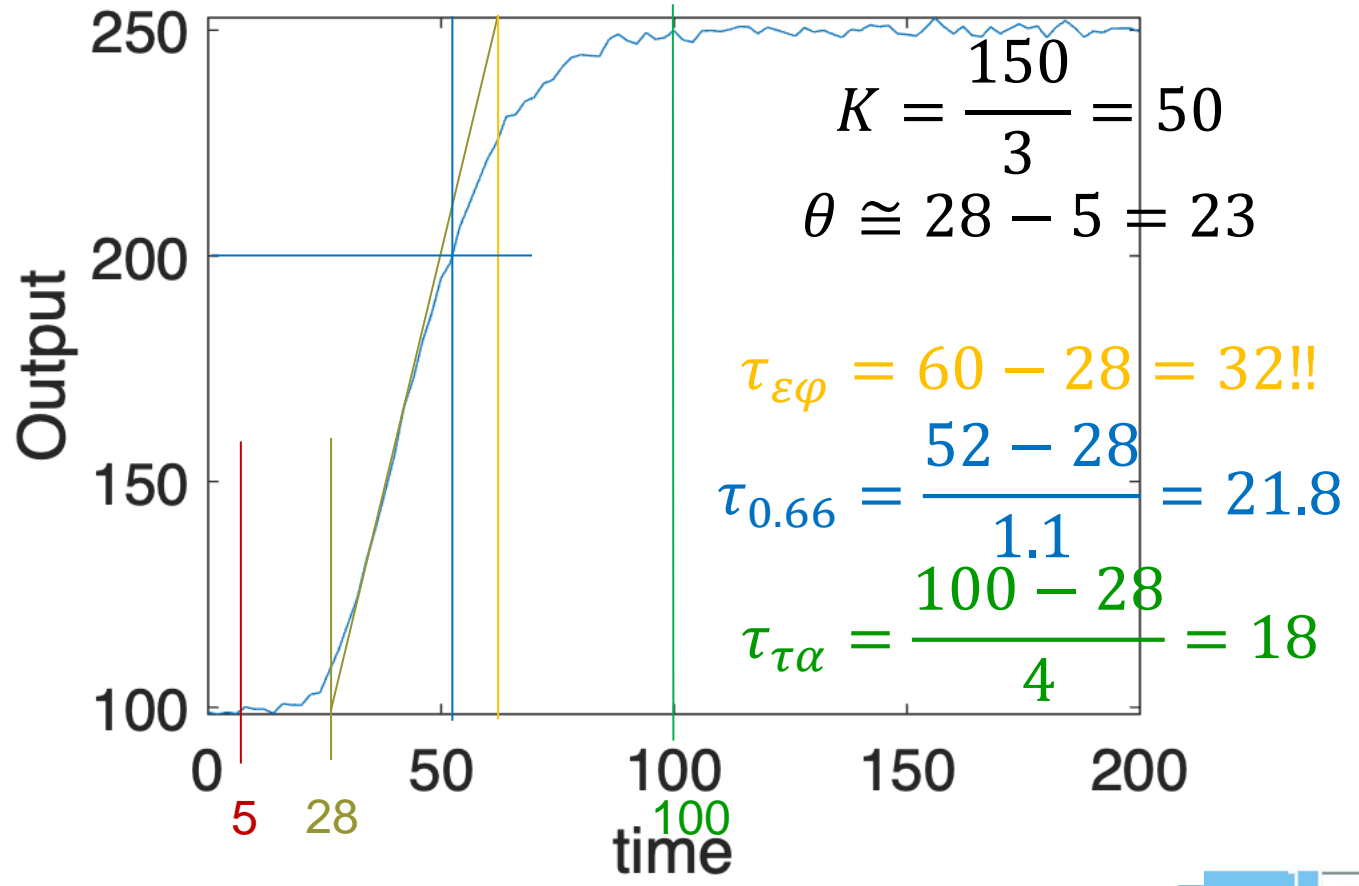


- Απόκριση σε βηματική αλλαγή στην είσοδο
 - Αύξηση στη βάρνα καυσίμου από 10% σε 13%
 - Ο παλμός γίνεται την στιγμή $t=5$ sec.
 - Άρα $\Delta u=13-10=3$ (αυτό είναι το M μας)
- Μέτρηση ανά δευτερόλεπτο
- Θόρυβος

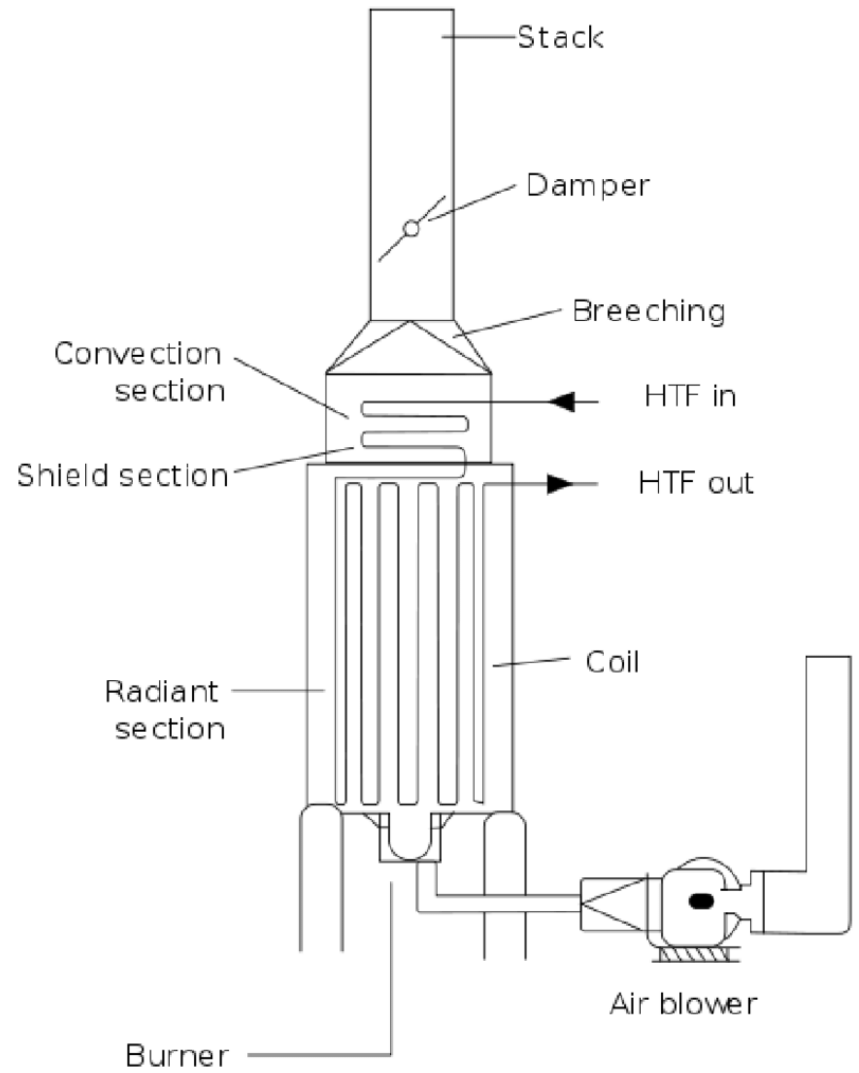
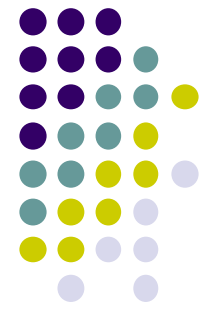
Παράδειγμα: Φούρνος (τρόπος Α, Β)



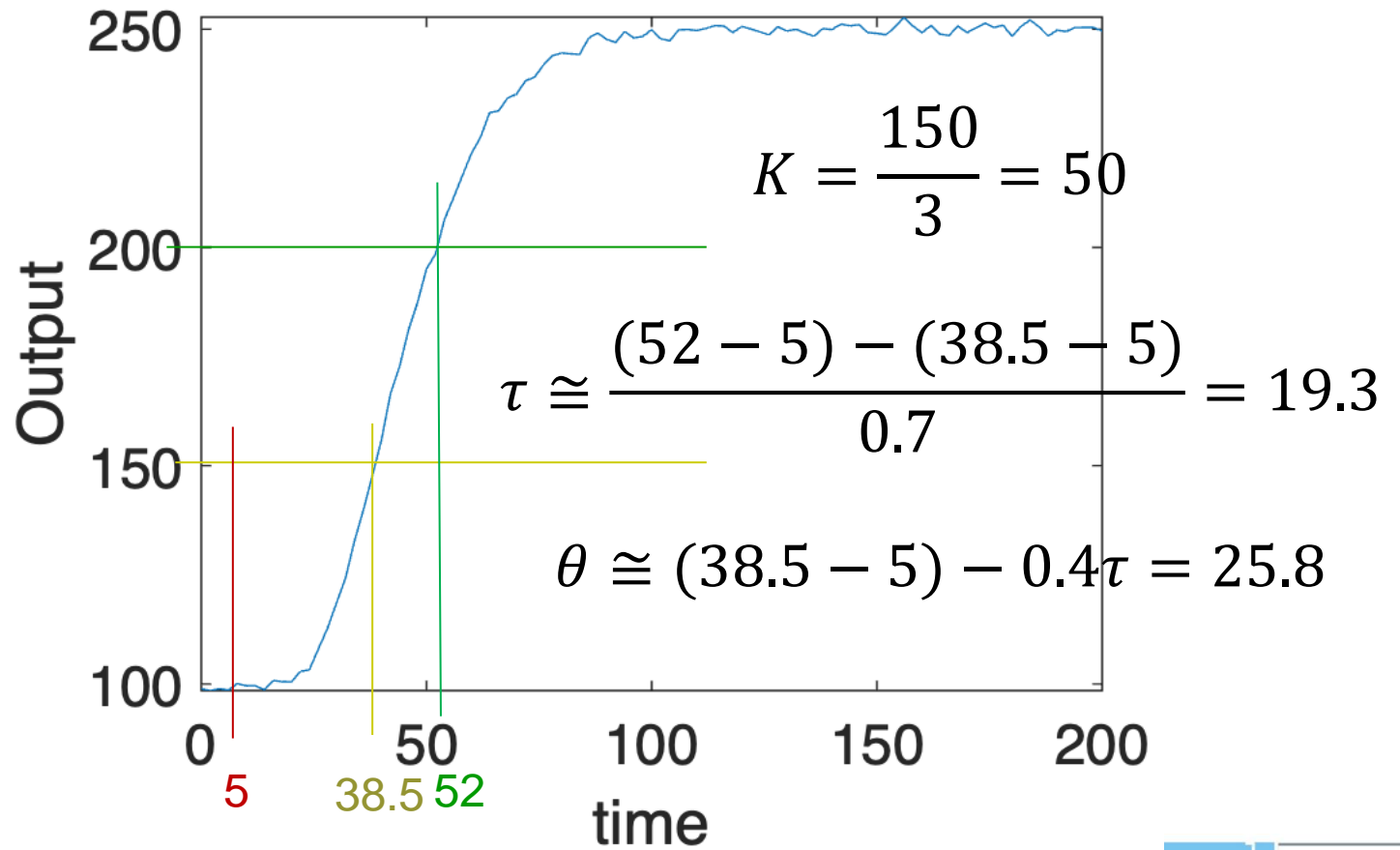
- FODS: $G = \frac{50}{21.8s+1} e^{-23s}$



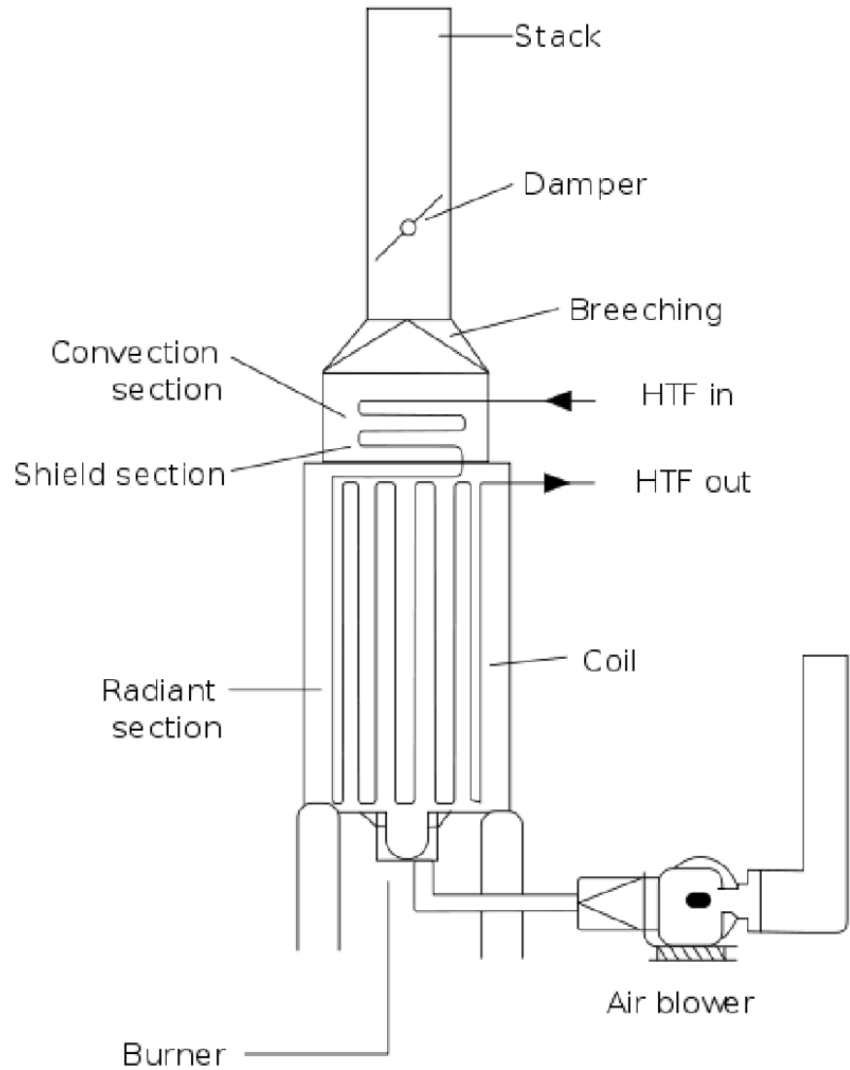
Παράδειγμα: Φούρνος (τρόπος Γ)



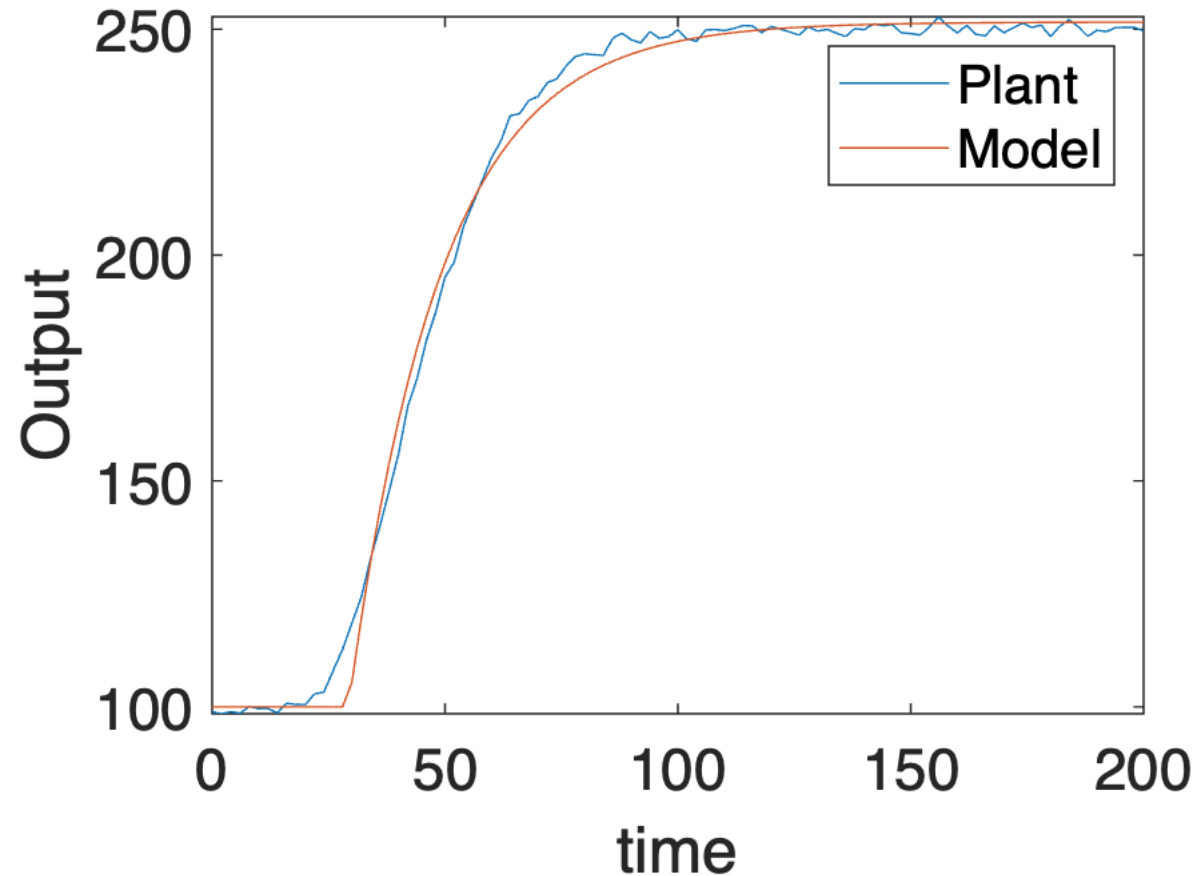
- FODS: $G = \frac{50}{19.3s+1} e^{-25.8s}$



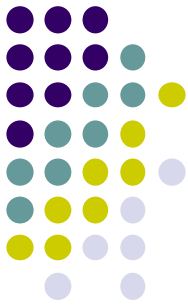
Παράδειγμα: Φούρνος (από βελτιστοποίηση)



- FODS: $G = \frac{50.5}{20s+1} e^{-24s}$

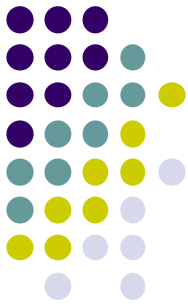


Αναγνώριση συστήματος FODS. Τρόπος Δ



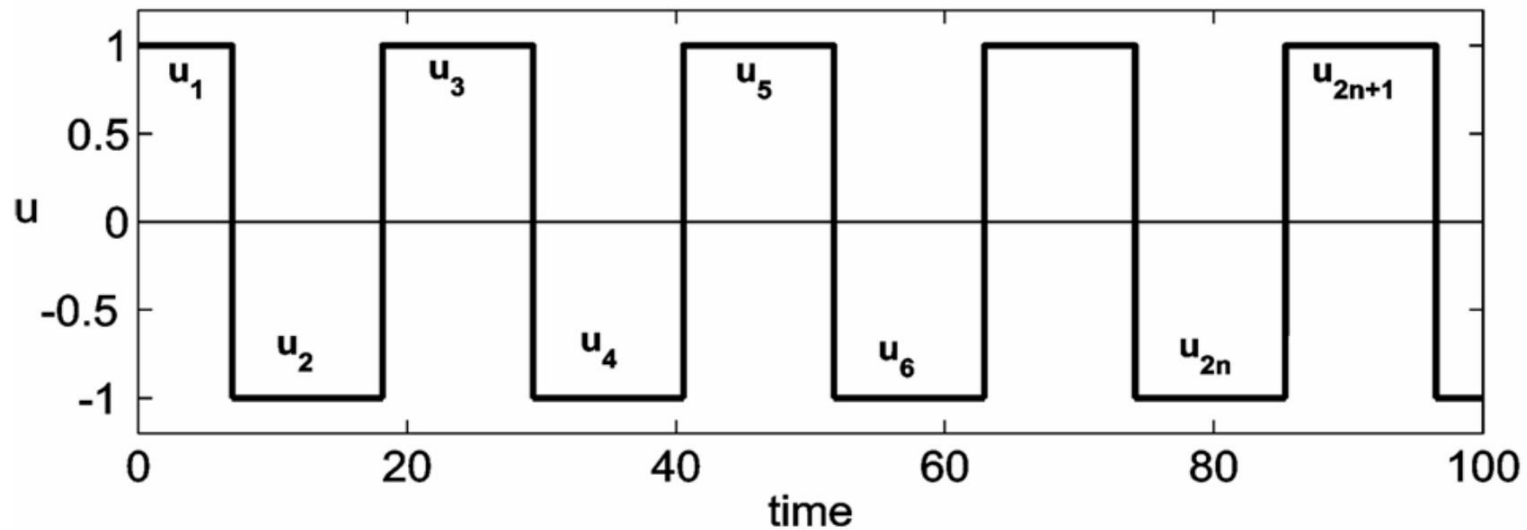
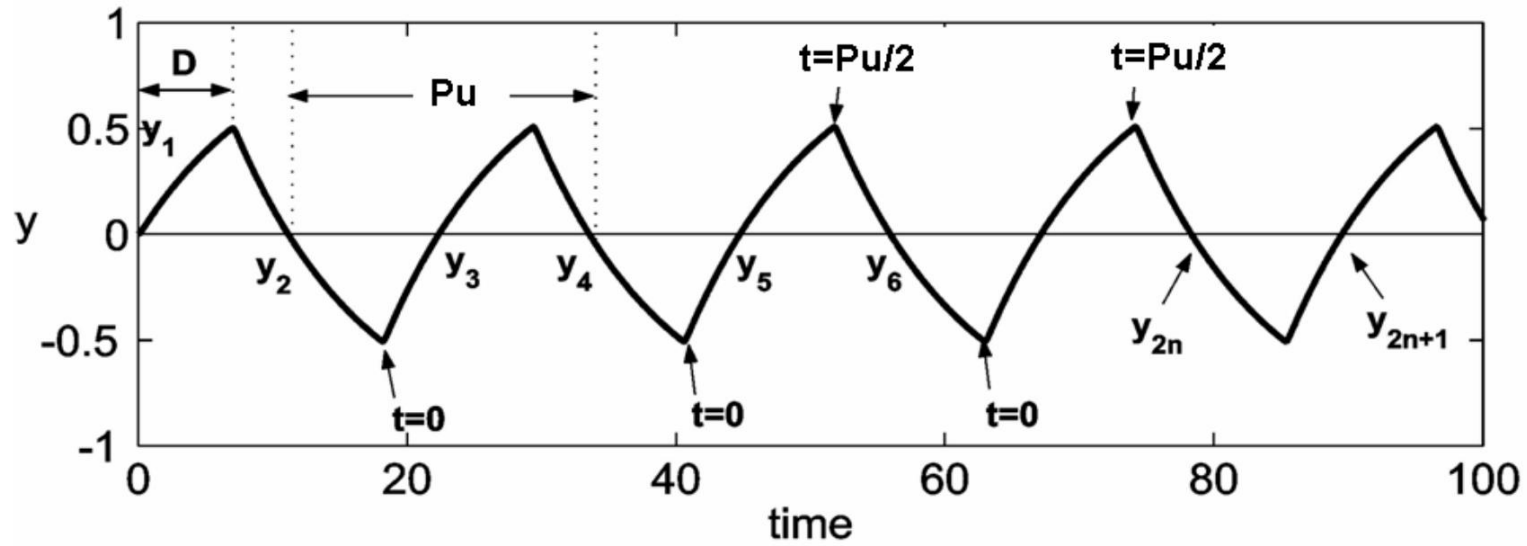
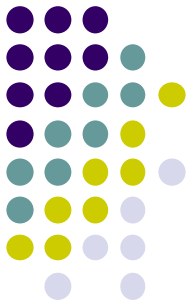
- Χρήση ενός βήματος για σήμα εισόδου
 - Δίνει απλή καμπύλη απόκρισης
 - Εύκολοι υπολογισμοί
 - Μπορεί να γίνει χαρακτηρισμός από το διάγραμμα
 - Το σύστημα μπορεί να έχει μεγάλη απόκριση
 - Μη γραμμική συμπεριφορά μπορεί να παρουσιαστεί
- Χρήση παλμών για σήμα εισόδου (ATV=AutoTuneVariables)
 - Προσεγγίζει το ημιτονοειδές σήμα
 - Πλουσιότερη απόκριση \Rightarrow καλύτερος χαρακτηρισμός συμπεριφοράς
 - Συνεχής διέγερση διεργασίας \Rightarrow καλύτερος χαρακτηρισμός
 - Περιπλοκότερο διάγραμμα απόκρισης
 - Το σύστημα ταλαντώνεται γύρω από το σημείο λειτουργίας
 - Χαρακτηρισμός μέσω προβλήματος βελτιστοποίησης
 - Το σήμα εισόδου είναι «δυσκολότερο» να βελτιστοποιηθεί

Αναγνώριση συστήματος FODS. Τρόπος Δ

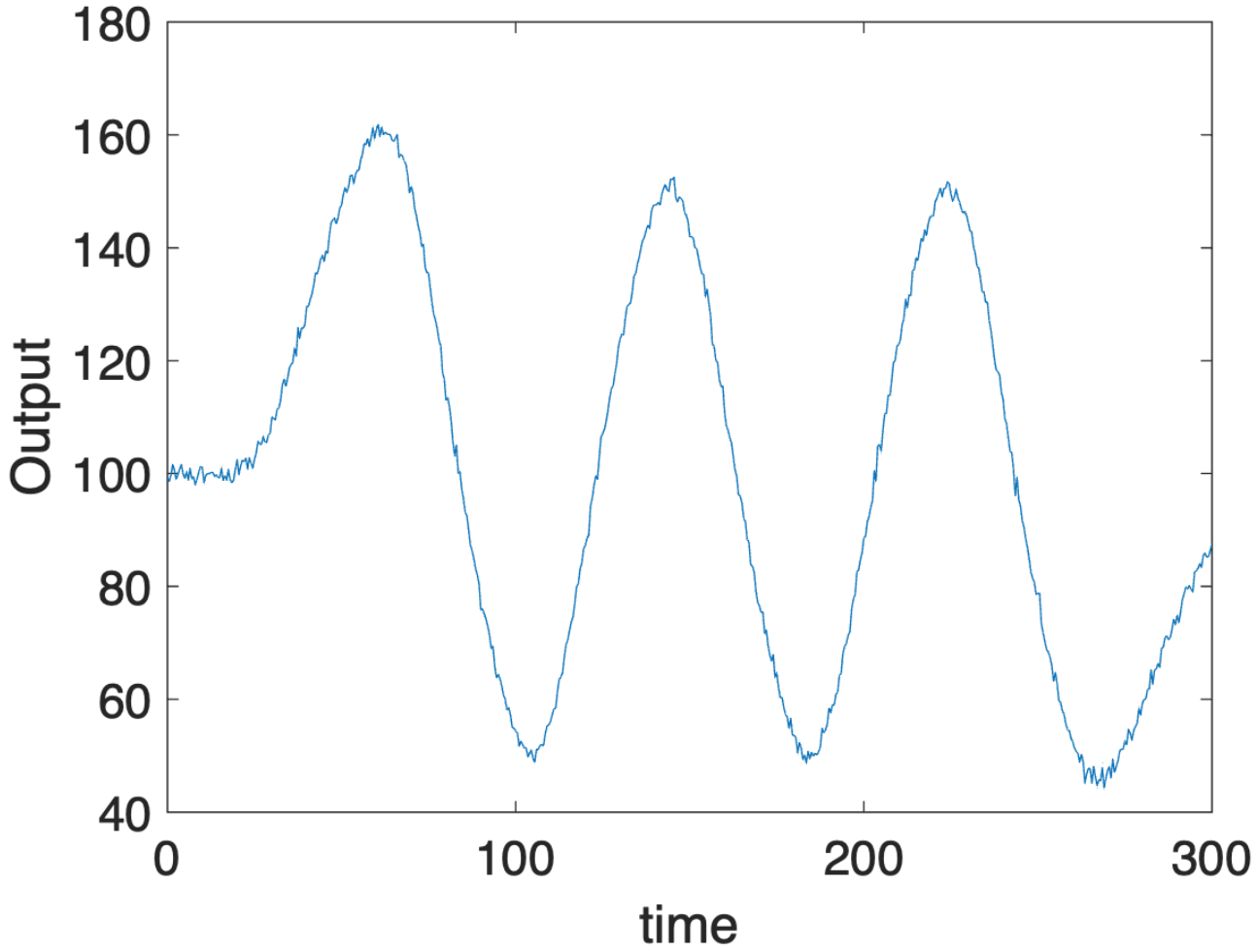
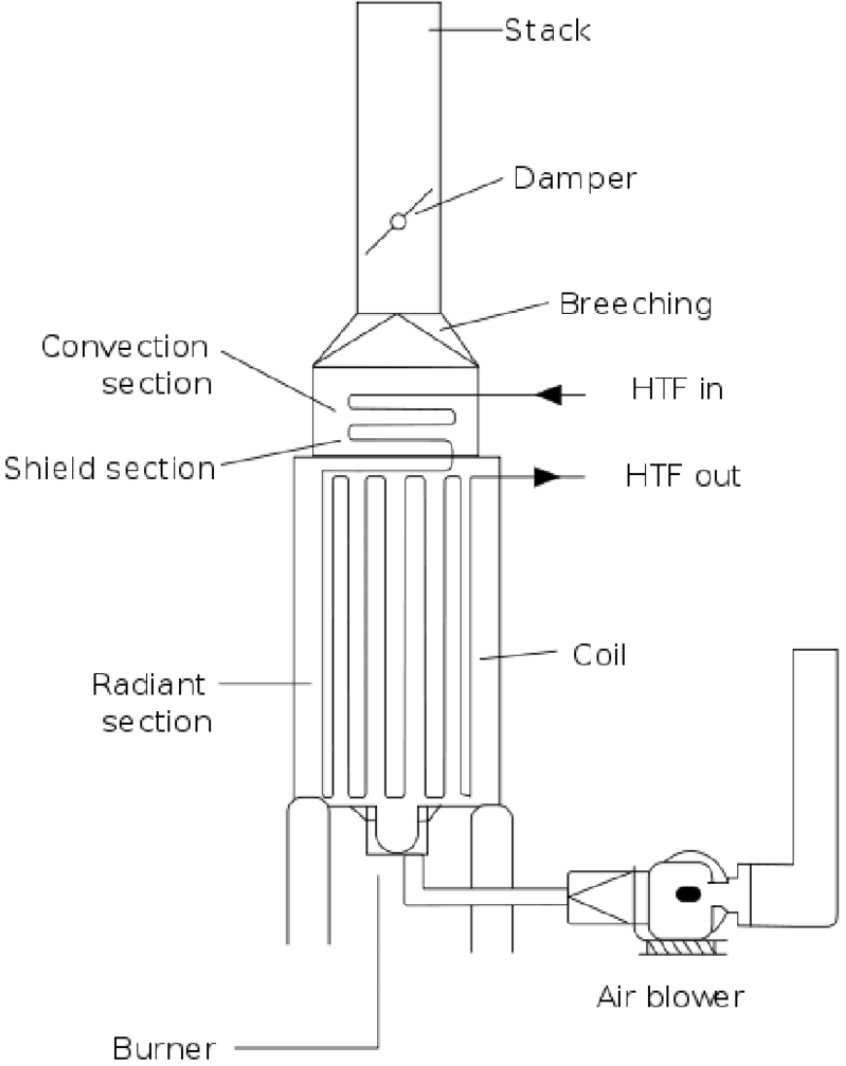


- Χρήση παλμών για σήμα εισόδου (ATV)
 - Το σήμα εισόδου είναι $u = u_0$. Η διεργασία ισορροπεί στο y_0 .
 - Το σήμα εισόδου είναι $u = u_0 + \delta u$.
 - Μετράται ο χρόνος μέχρι να αρχίσει να αποκρίνεται. Χρόνος $t = \theta$.
 - Η διεργασία αποκρίνεται και δημιουργείται δy
 - Μετά από λίγο σήμα εισόδου είναι $u = u_0 - \delta u$. Το δy μειώνεται.
 - Όταν γίνει $\delta y < 0$, τότε $u = u_0 + \delta u$. Χρόνος $t = 0$.
 - Όταν γίνει $\delta y > 0$, τότε $u = u_0 - \delta u$. Χρόνος $t = T_u$.
 - Επαναλαμβάνουμε μέχρι να σταθεροποιηθεί η τιμή του T_u (κρίσιμη περίοδος)
 - Υπολογίζουμε το $K_u = \frac{4}{\pi} \frac{\delta u}{\max(\delta y)}$ (κρίσιμη ενίσχυση)
 - Ορίζουμε $\tau = \frac{T_u}{2\pi} \tan\left(\pi - \frac{2\pi\theta}{T_u}\right)$ και $K = \frac{\sqrt{4\pi^2\tau^2 + T_u^2}}{T_u K_u}$

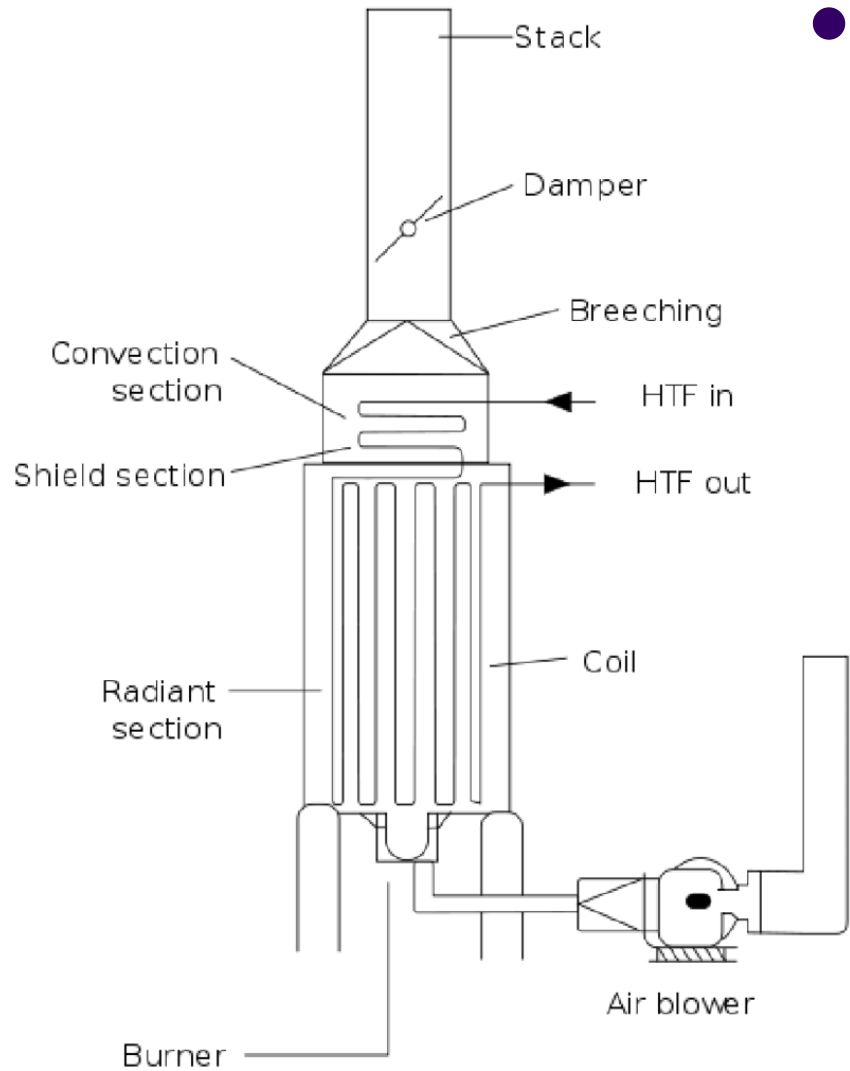
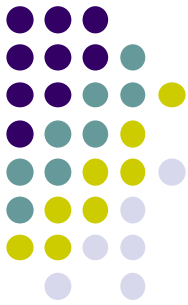
Αναγνώριση συστήματος FODS. Τρόπος Δ



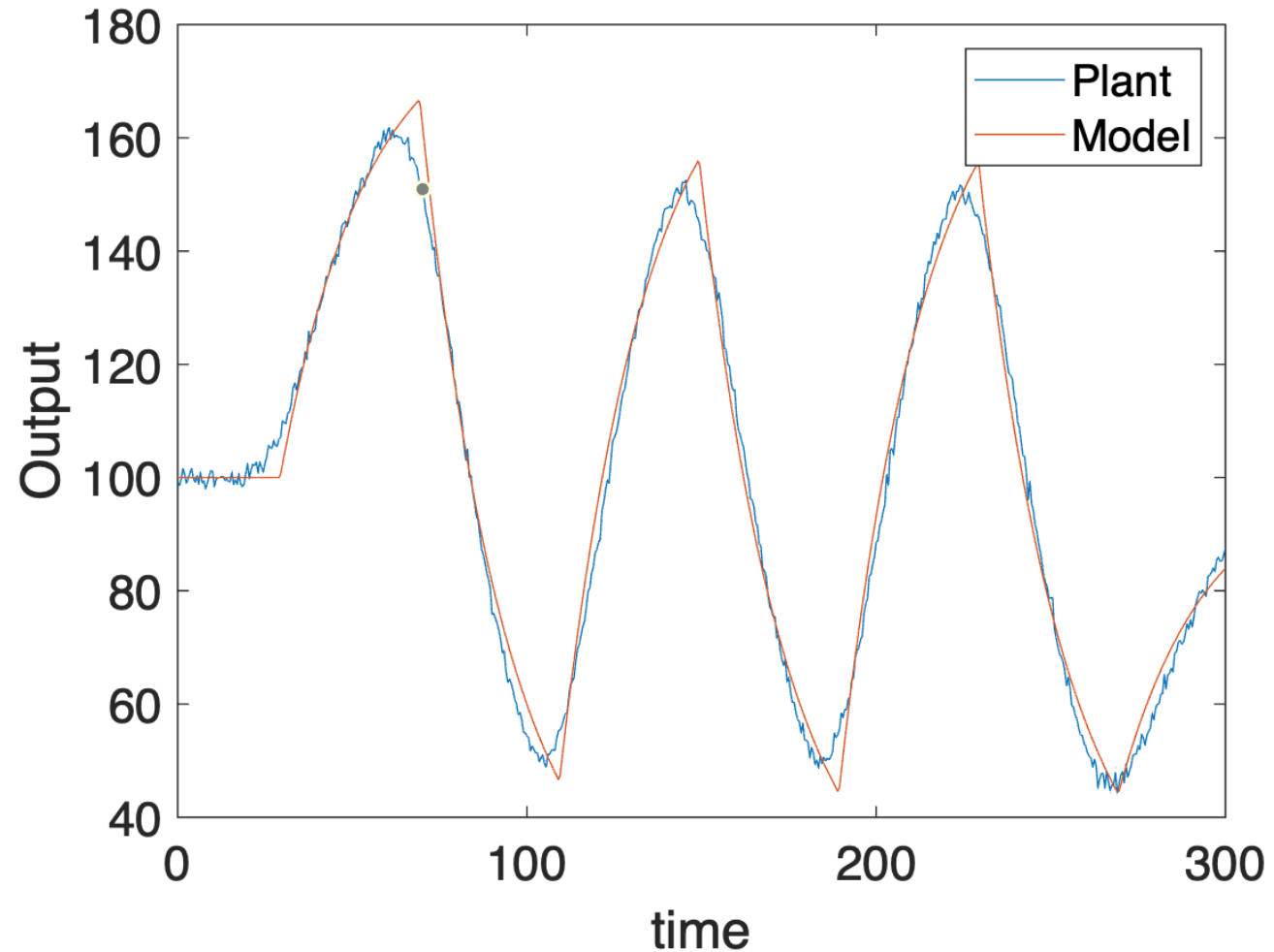
Παράδειγμα: Φούρνος



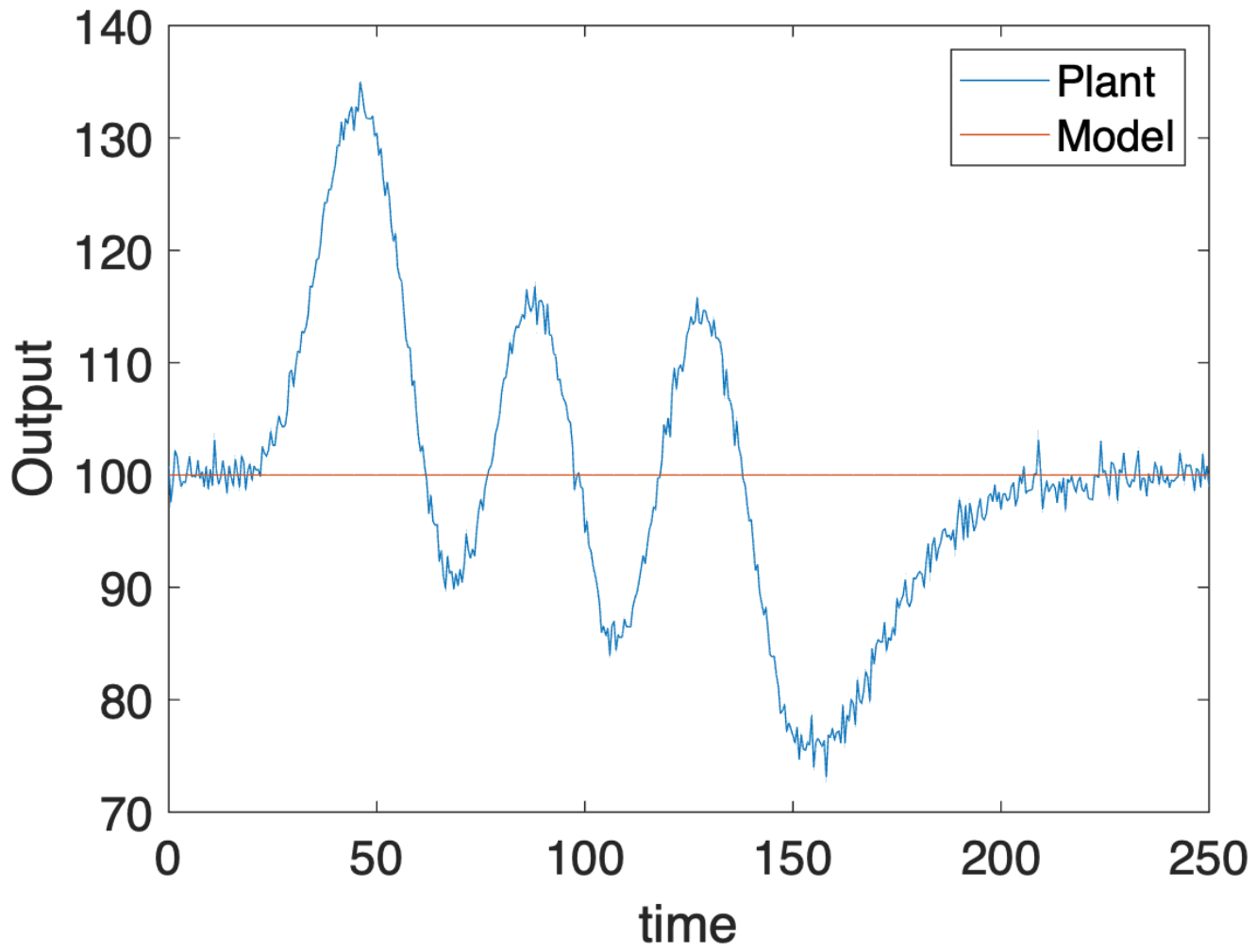
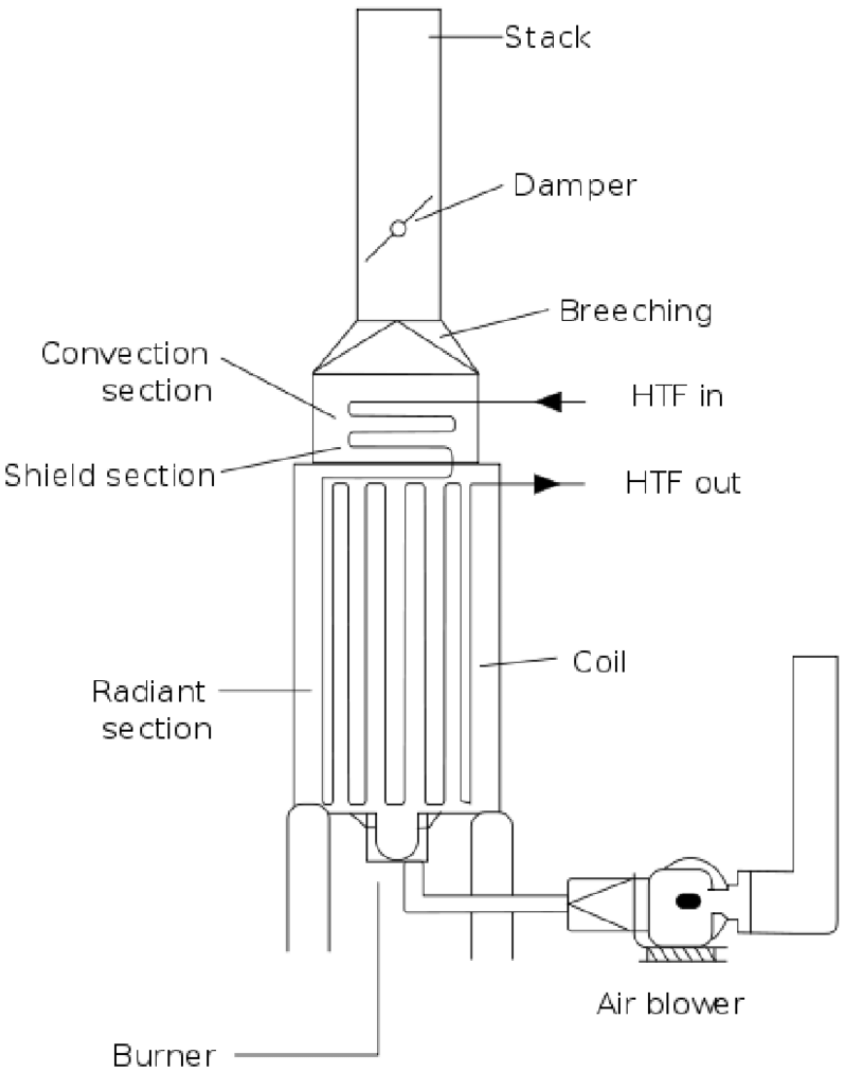
Παράδειγμα: Φούρνος (από βελτιστοποίηση)



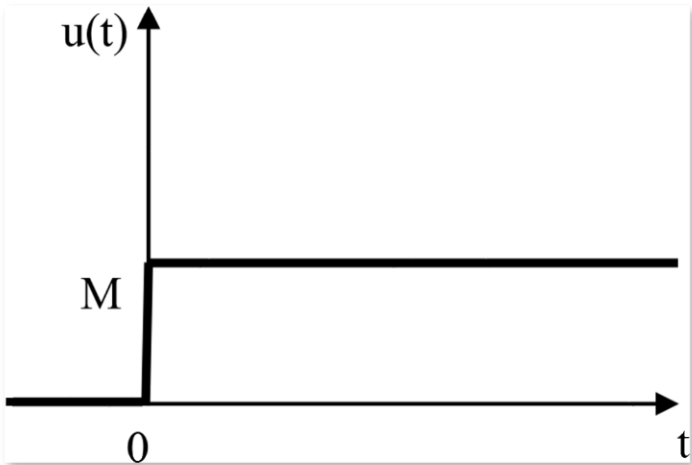
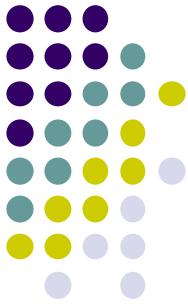
- Διεργασία 1^{ης} τάξης: $G = \frac{55.5}{24s+1} e^{-24s}$



Παράδειγμα: Φούρνος

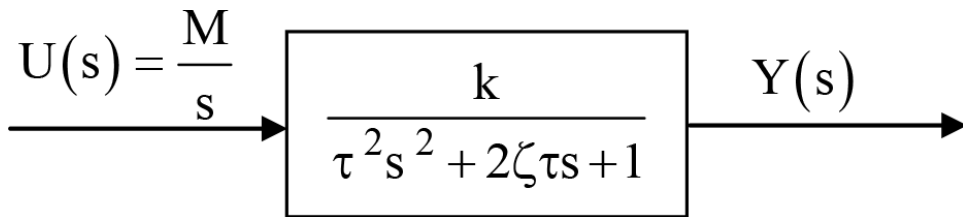


Απόκριση συστήματος 2^{ης} τάξης σε βηματική μεταβολή της εισόδου



$$u(t) = \begin{cases} 0 & , t < 0 \\ M & , t \geq 0 \end{cases}$$

$$U(s) = \frac{M}{s}$$

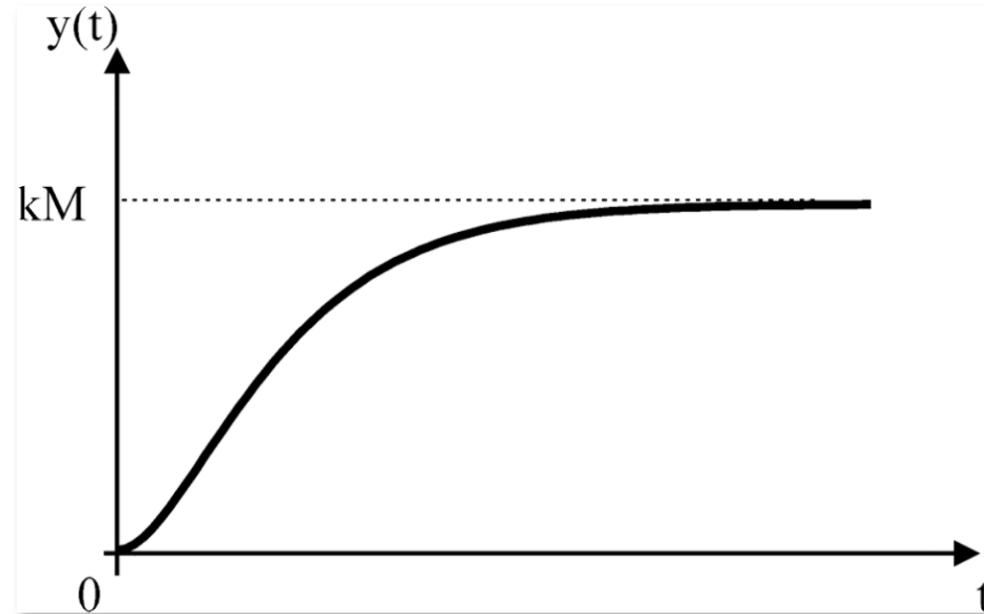


$$Y(s) = \frac{kM}{s(\tau^2 s^2 + 2\zeta \tau s + 1)}$$

Συντελεστής απόσβεσης $\zeta > 1$



$$Y(s) = \left\{ \frac{1}{s} - \frac{\frac{1}{2} \left(1 + \frac{\zeta}{\sqrt{\zeta^2 - 1}} \right)}{s + \frac{\zeta}{\tau} - \frac{\sqrt{\zeta^2 - 1}}{\tau}} - \frac{\frac{1}{2} \left(1 - \frac{\zeta}{\sqrt{\zeta^2 - 1}} \right)}{s + \frac{\zeta}{\tau} + \frac{\sqrt{\zeta^2 - 1}}{\tau}} \right\} \text{kM}$$



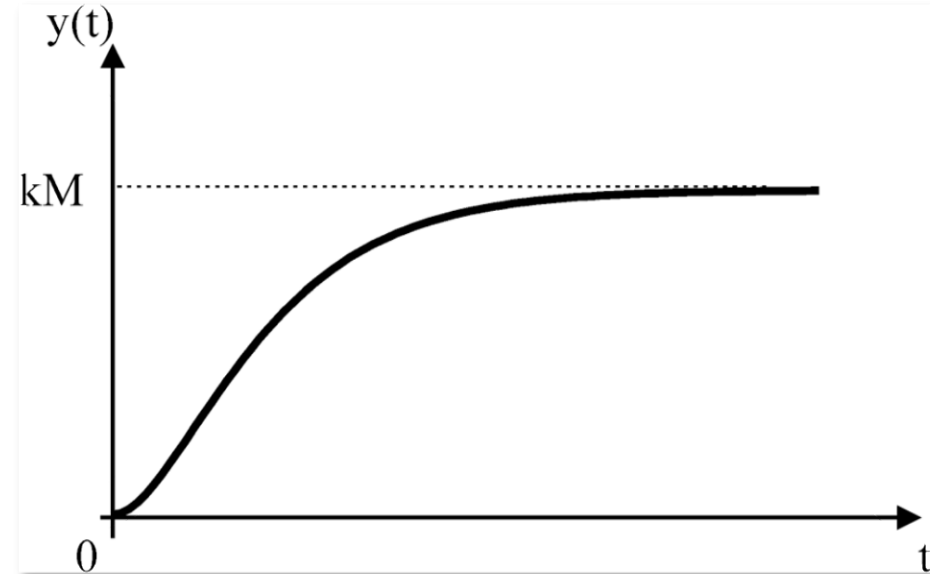
$$y(t) = \left[1 - \frac{1}{2} \left(1 + \frac{\zeta}{\sqrt{\zeta^2 - 1}} \right) \exp \left\{ - \left(\frac{\zeta - \sqrt{\zeta^2 - 1}}{\tau} \right) t \right\} - \frac{1}{2} \left(1 - \frac{\zeta}{\sqrt{\zeta^2 - 1}} \right) \exp \left\{ - \left(\frac{\zeta + \sqrt{\zeta^2 - 1}}{\tau} \right) t \right\} \right] \text{kM}$$
$$= \left[1 - e^{-\frac{\zeta}{\tau} t} \left(\cosh \left\{ \frac{\sqrt{\zeta^2 - 1}}{\tau} t \right\} + \frac{\zeta}{\sqrt{\zeta^2 - 1}} \sinh \left\{ \frac{\sqrt{\zeta^2 - 1}}{\tau} t \right\} \right) \right] \text{kM}$$

Συντελεστής απόσβεσης $\zeta=1$

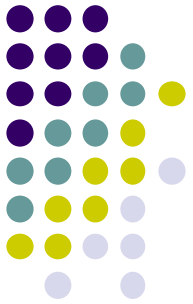


$$Y(s) = \frac{kM}{s(\tau s + 1)^2}$$
$$= \left(\frac{1}{s} - \frac{1}{s + \frac{1}{\tau}} - \frac{\frac{1}{\tau}}{\left(s + \frac{1}{\tau}\right)^2} \right) kM$$

$$y(t) = \left(1 - \left(1 + \frac{t}{\tau} \right) e^{-\frac{t}{\tau}} \right) kM$$

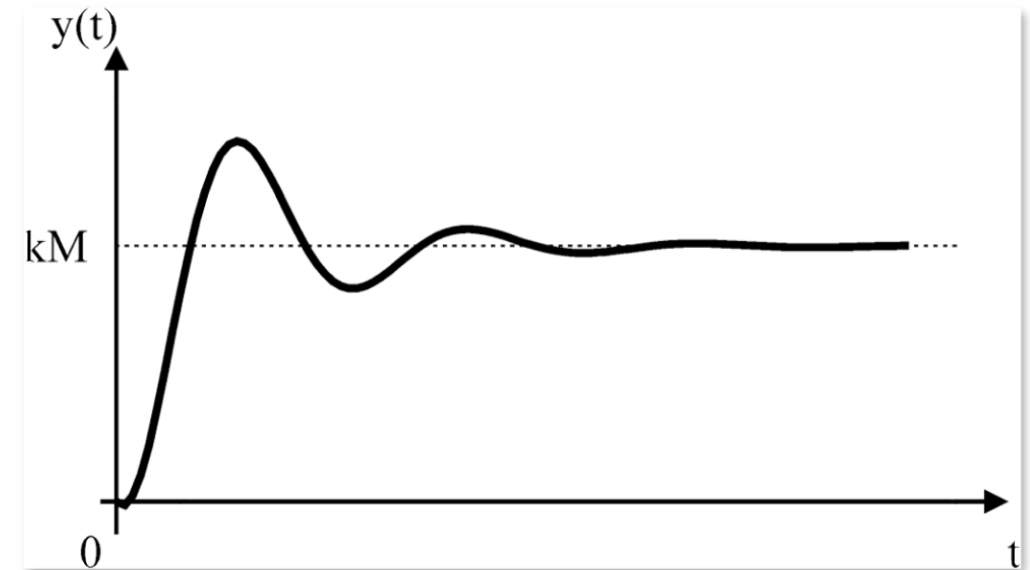


Συντελεστής απόσβεσης $0 < \zeta < 1$



$$Y(s) = \left[\frac{1}{s} - \frac{\frac{1}{2} \left(1 + i \frac{\zeta}{\sqrt{1-\zeta^2}} \right)}{s + \frac{\zeta}{\tau} - i \frac{\sqrt{1-\zeta^2}}{\tau}} - \frac{\frac{1}{2} \left(1 - i \frac{\zeta}{\sqrt{1-\zeta^2}} \right)}{s + \frac{\zeta}{\tau} + i \frac{\sqrt{1-\zeta^2}}{\tau}} \right] \text{kM}$$
$$= \left[\frac{1}{s} - \frac{s + \frac{\zeta}{\tau}}{\left(s + \frac{\zeta}{\tau} \right)^2 + \frac{1-\zeta^2}{\tau^2}} - \frac{\frac{\zeta}{\tau}}{\left(s + \frac{\zeta}{\tau} \right)^2 + \frac{1-\zeta^2}{\tau^2}} \right] \text{kM}$$

$$y(t) = \left[1 - e^{-\frac{\zeta}{\tau} t} \left[\cos \left(\frac{\sqrt{1-\zeta^2}}{\tau} t \right) + \frac{\zeta}{\sqrt{1-\zeta^2}} \sin \left(\frac{\sqrt{1-\zeta^2}}{\tau} t \right) \right] \right] \text{kM}$$

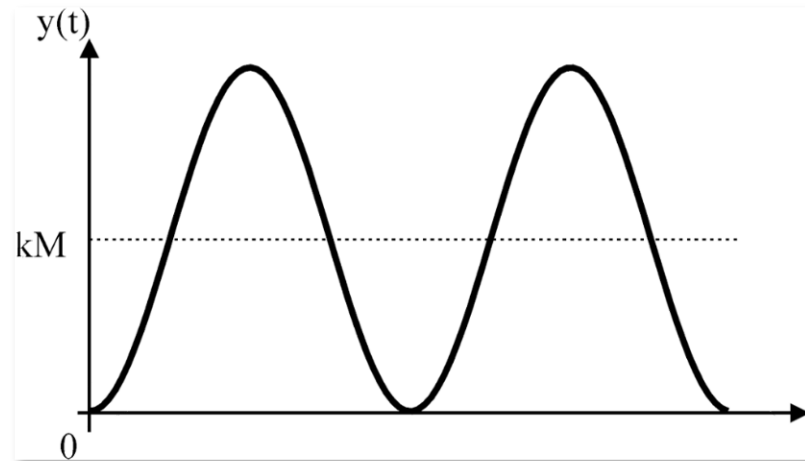


Συντελεστής απόσβεσης $\zeta=0$

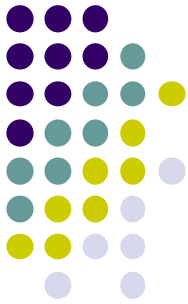


$$Y(s) = \frac{kM}{s(\tau^2 s^2 + 1)} = \left[\frac{1}{s} - \frac{s}{s^2 + \frac{1}{\tau^2}} \right] kM$$

$$y(t) = \left(1 - \cos\left(\frac{t}{\tau}\right) \right) kM$$

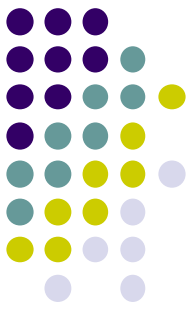


Σημασία συντελεστή απόσβεσης ζ

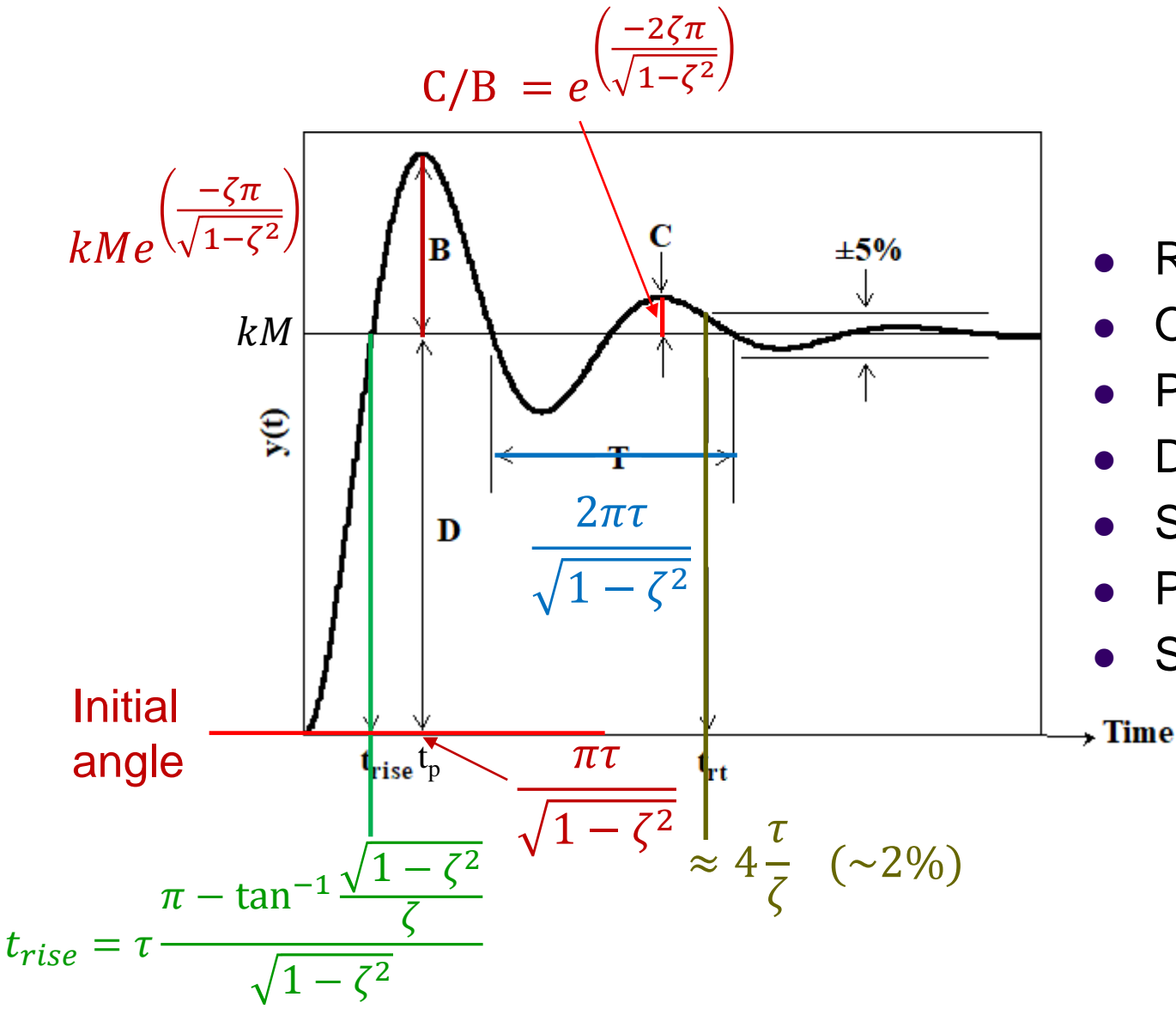


Περίπτωση		Ρίζες παρονομαστή της συναρτήσεως μεταφοράς	Φύση των ριζών του παρονομαστή της συναρτήσεως μεταφοράς
Υπερκρίσιμη απόσβεση	$\zeta > 1$	$-\frac{\zeta}{\tau} \pm \frac{\sqrt{\zeta^2 - 1}}{\tau}$	Πραγματικές αρνητικές απλές ρίζες
Κρίσιμη απόσβεση	$\zeta = 1$	$-\frac{1}{\tau}, -\frac{1}{\tau}$	Πραγματική αρνητική διπλή ρίζα
Υποκρίσιμη απόσβεση	$0 < \zeta < 1$	$-\frac{\zeta}{\tau} \pm i \frac{\sqrt{1 - \zeta^2}}{\tau}$	Μιγαδικές συζυγείς με αρνητικό πραγματικό μέρος
Μηδενική απόσβεση	$\zeta = 0$	$\pm i \frac{1}{\tau}$	Φανταστικές συζυγείς

Χαρακτηριστικά υποκρίσιμης απόσβεσης

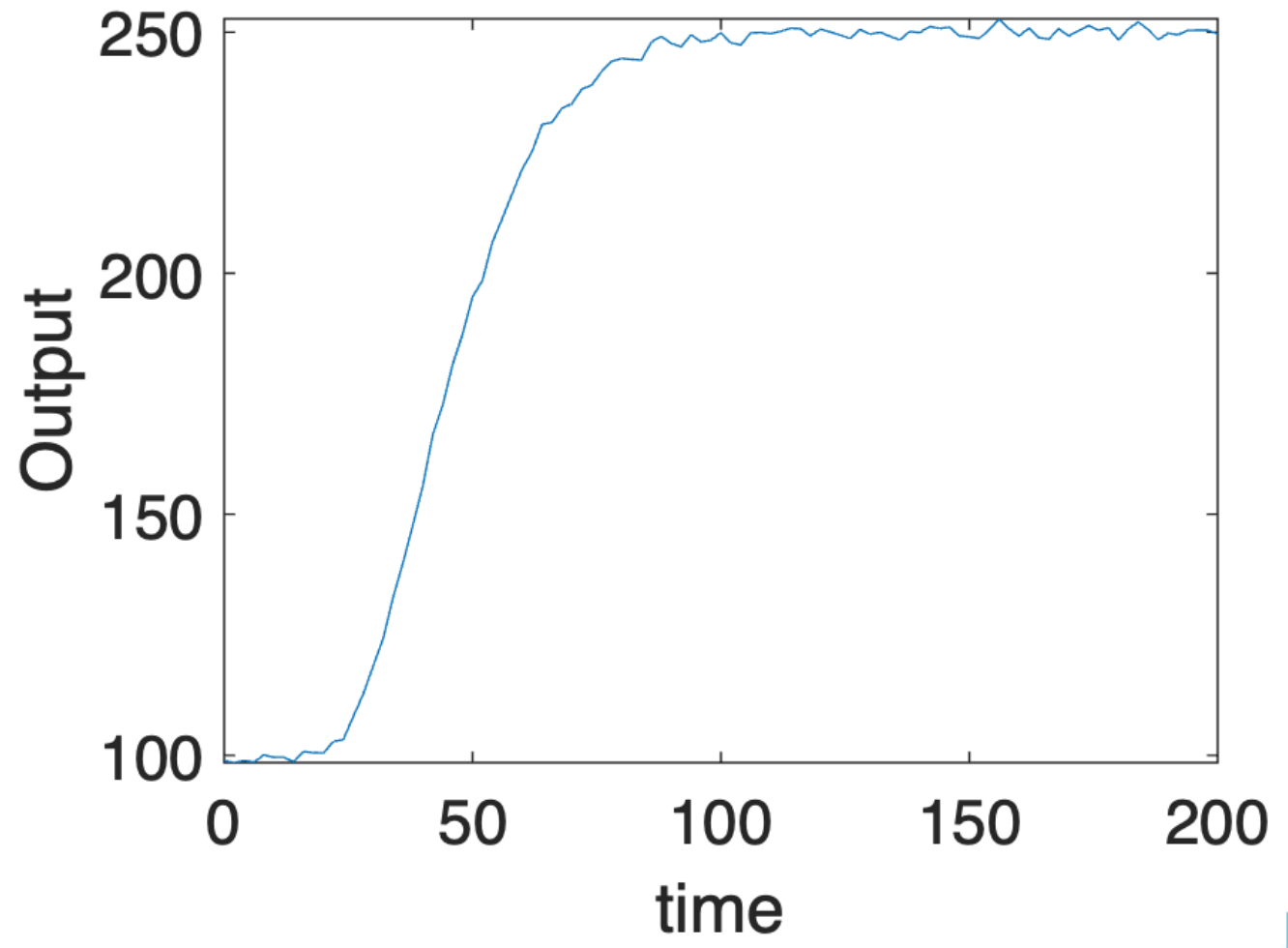
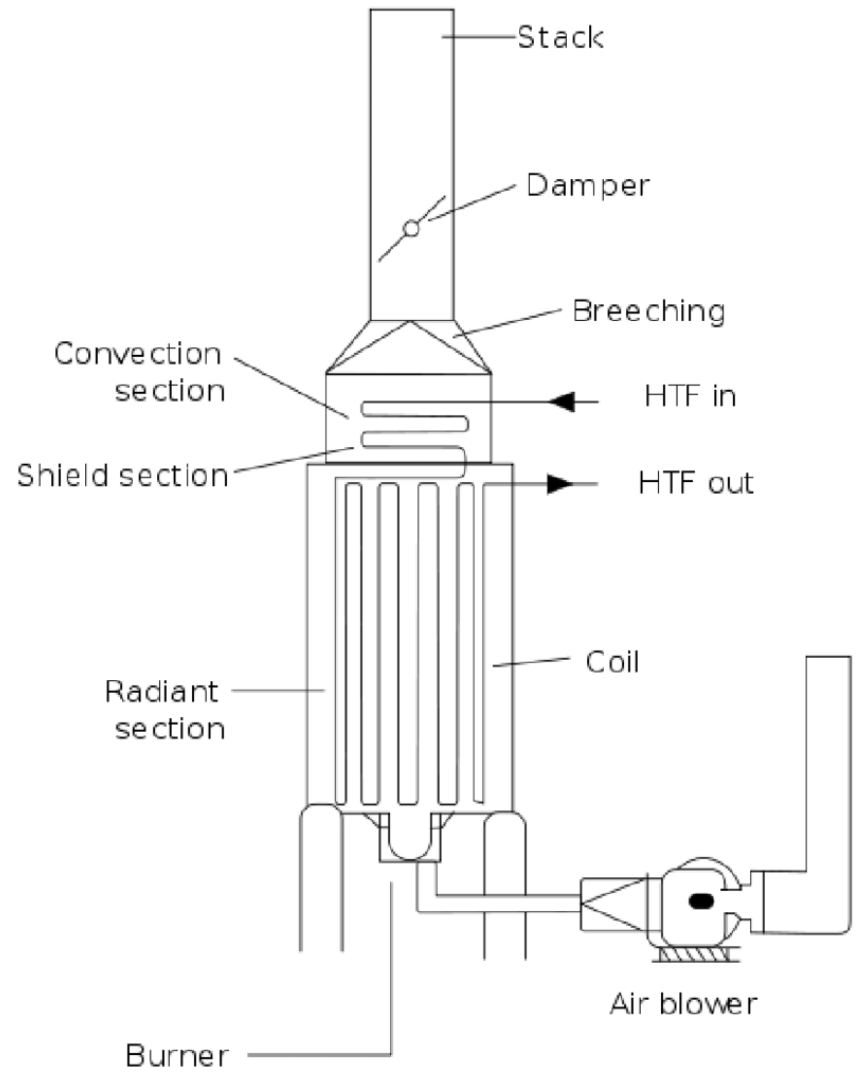


$$G_p(s) = \frac{K}{\tau^2 s^2 + 2\zeta \tau s + 1}$$

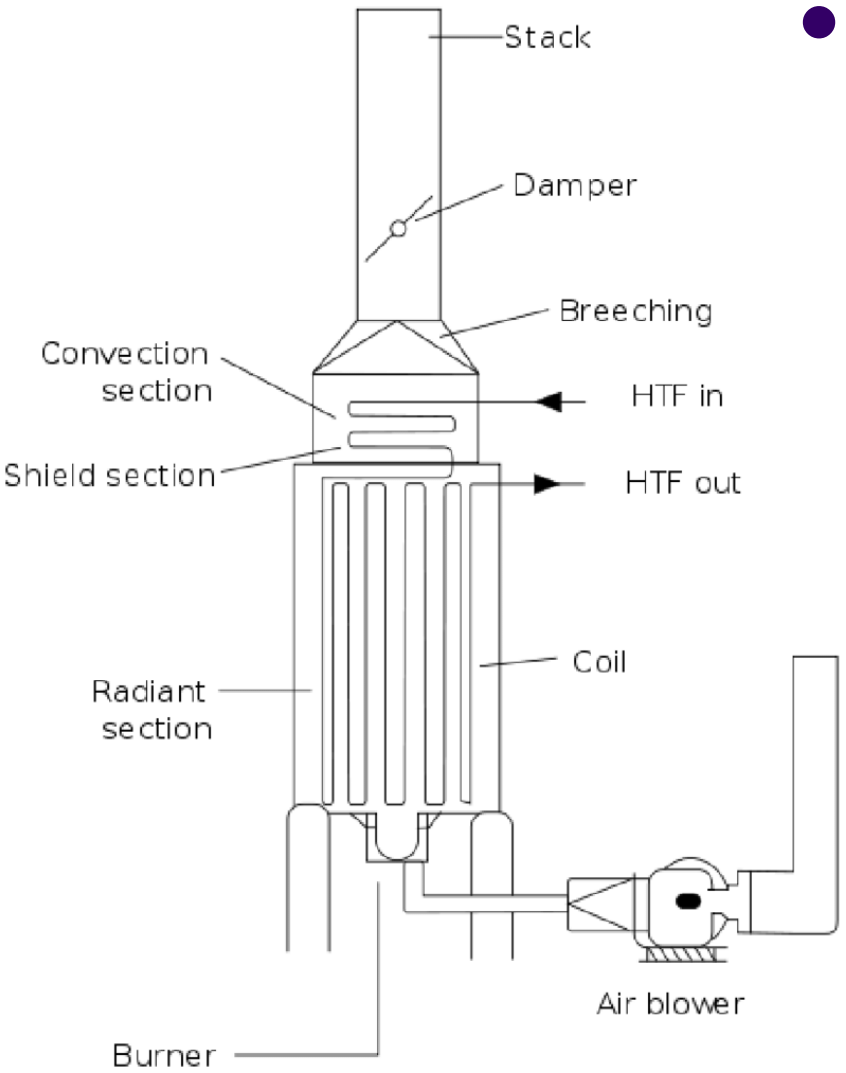
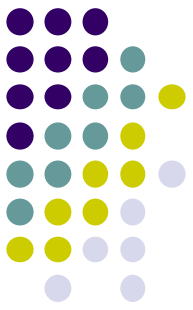


- Rise time - Χρόνος ανύψωσης (t_{rise})
- Overshoot – Υπέρβαση (B)
- Peak time – Χρόνος μέγιστης απόκρισης (t_p)
- Decay ratio – Λόγος απόσβεσης (C/B)
- Settling time – Χρόνος απόκρισης (t_{rt})
- Period – Περίοδος (T)
- Settled response – Τελική απόκριση

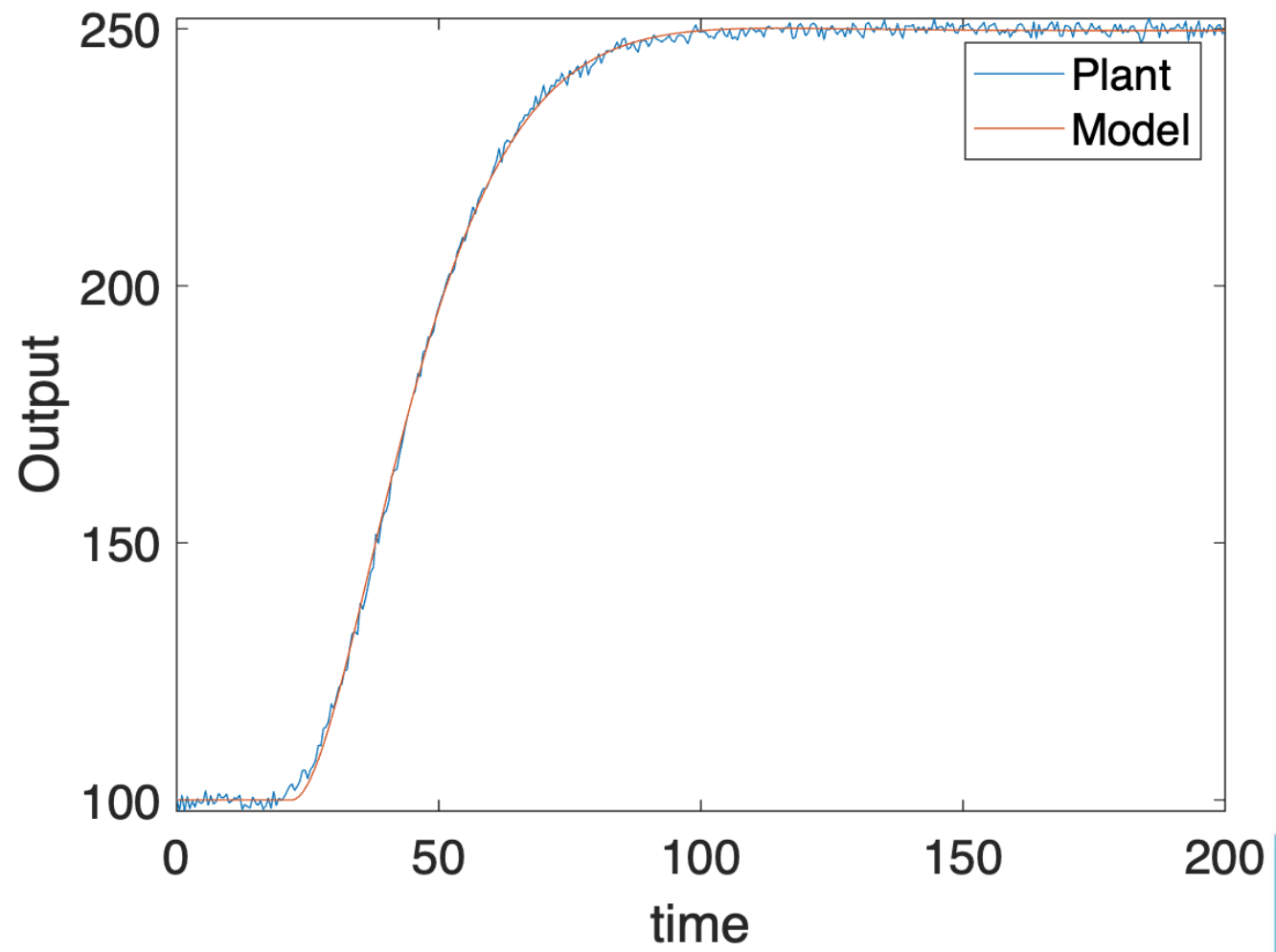
Παράδειγμα: Φούρνος



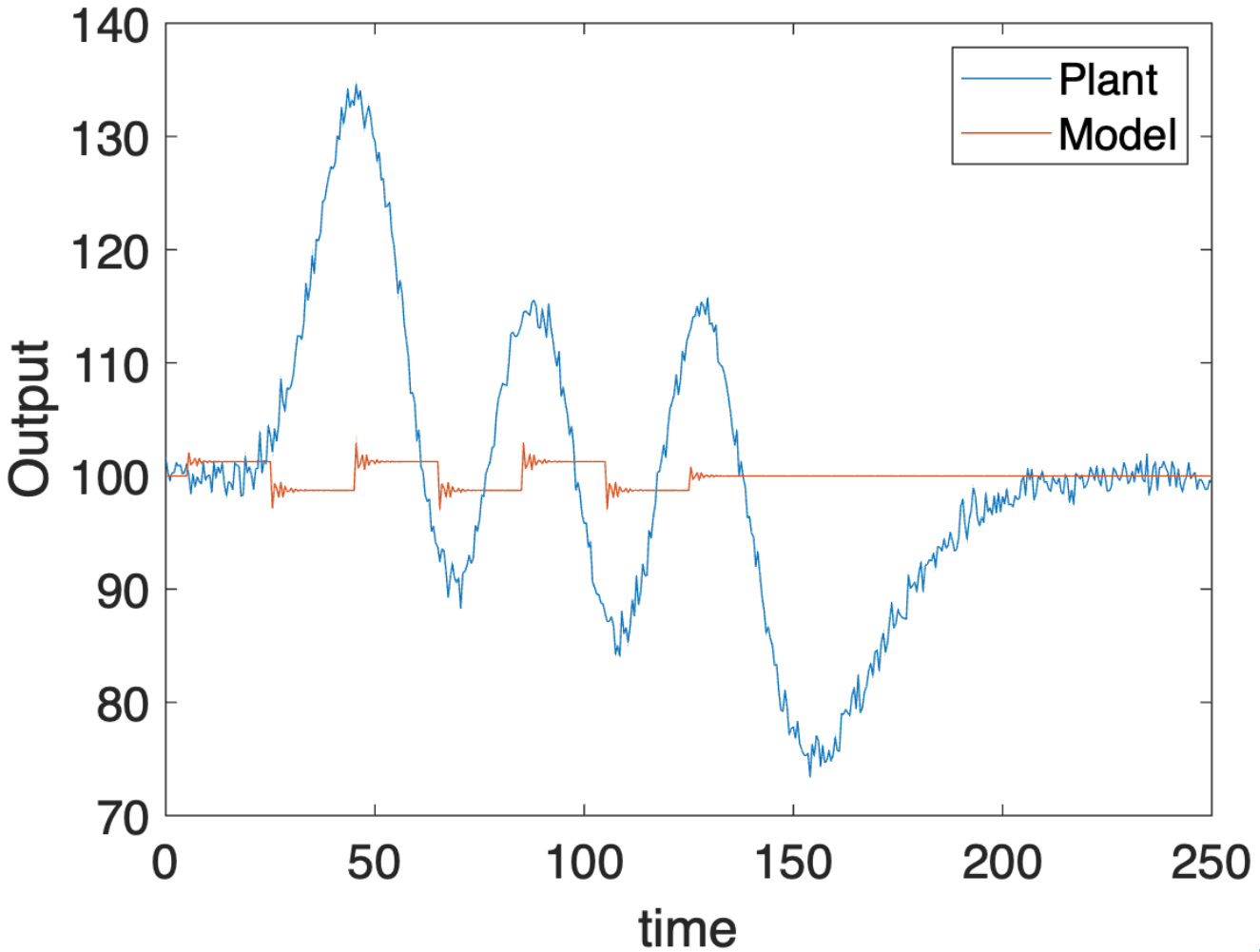
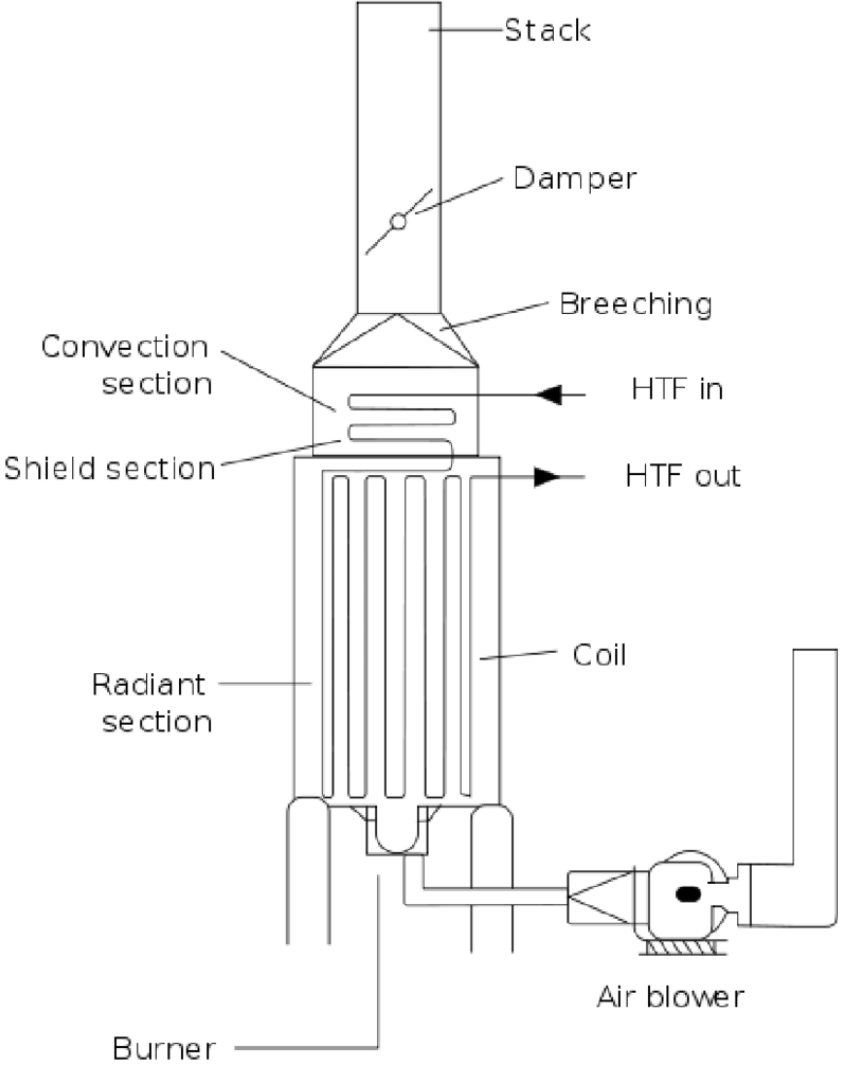
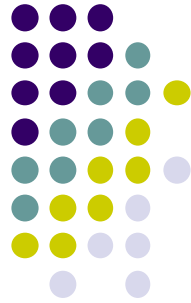
Παράδειγμα: Φούρνος



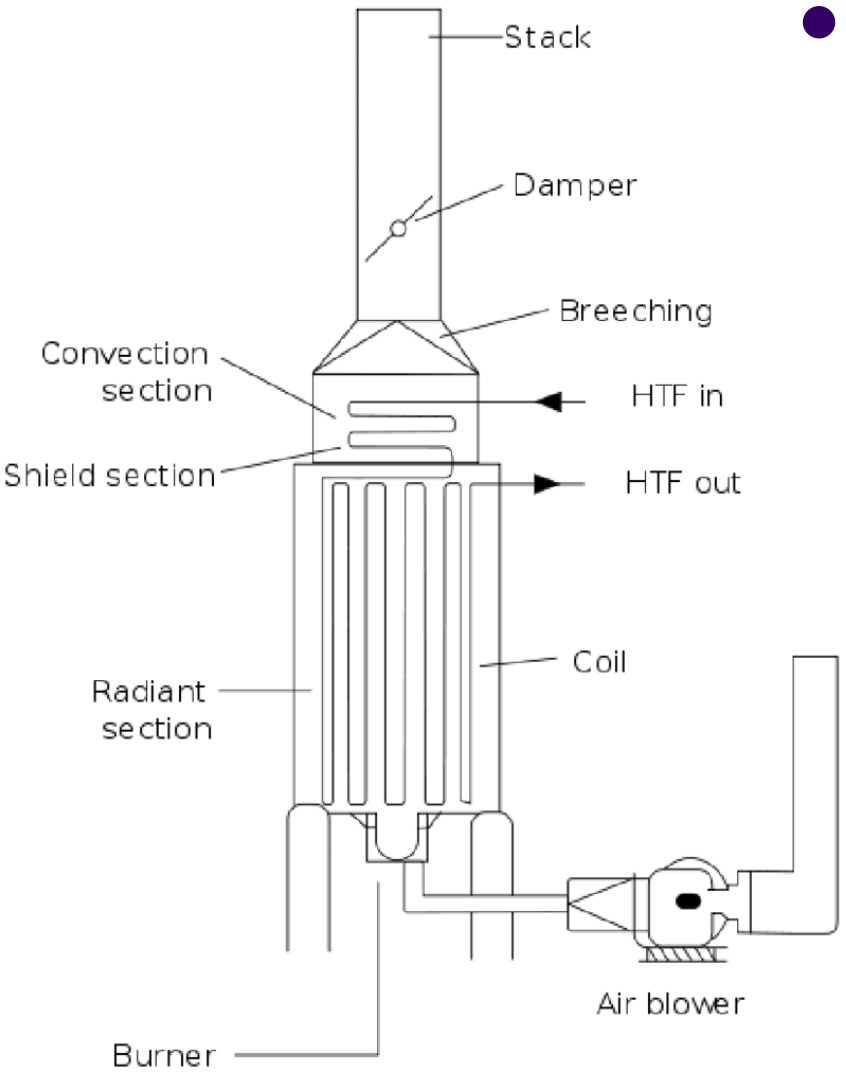
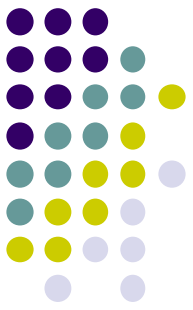
- SODS: $G = \frac{49.9}{(14s)^2 + 214.088s + 1} e^{-17s}$



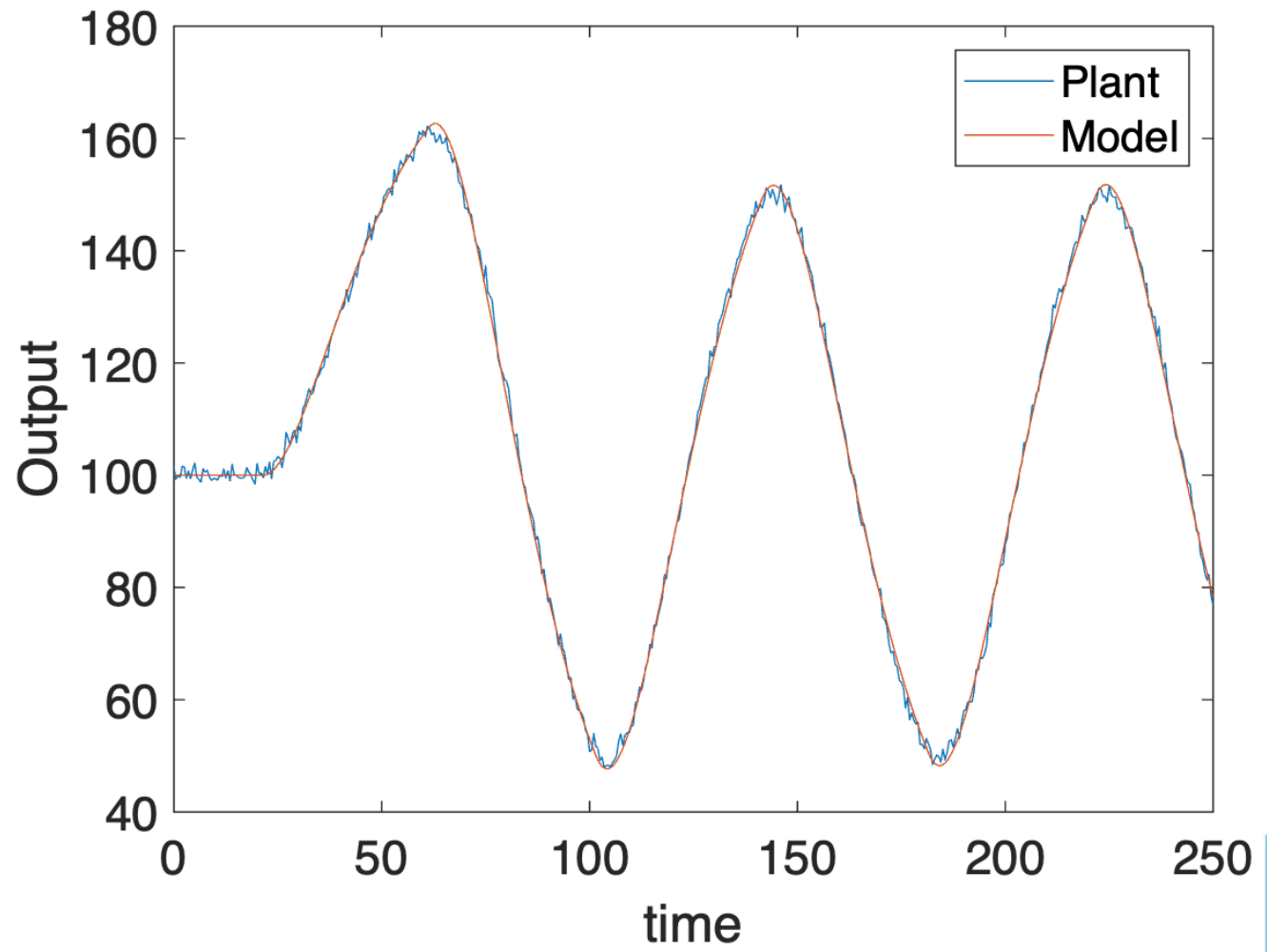
Παράδειγμα: Φούρνος



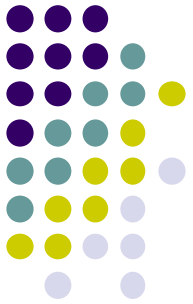
Παράδειγμα: Φούρνος



- SODS: $G = \frac{48.9}{(14.6s)^2 + 2 \cdot 14.6 \cdot 0.82s + 1} e^{-16.5s}$

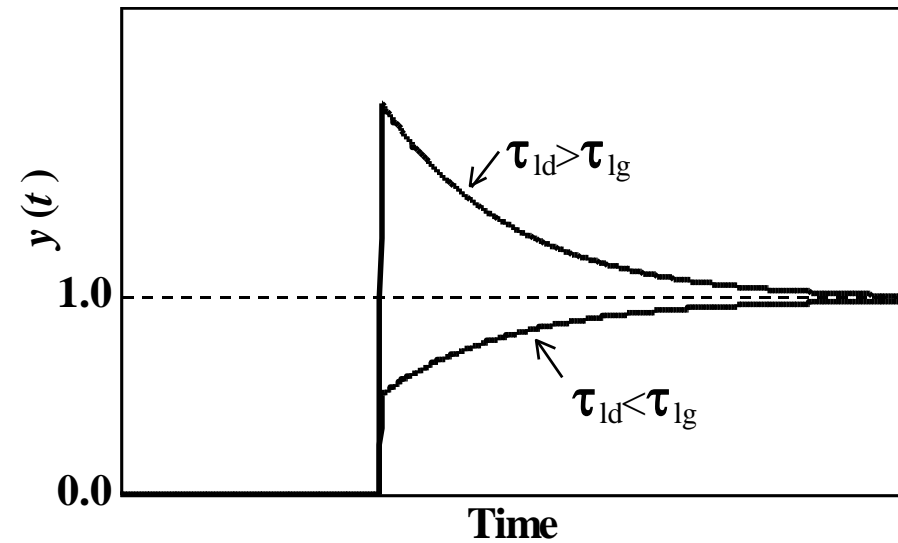
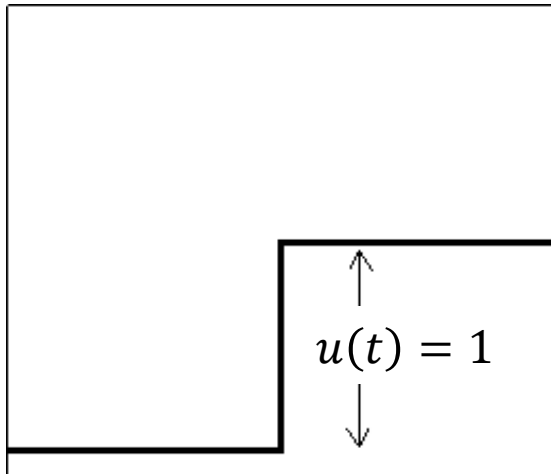


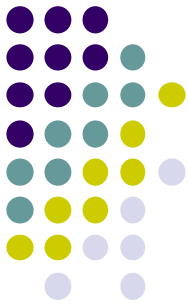
Lead-Lag Element



$$G(s) = K \frac{\tau_{ld}s + 1}{\tau_{lg}s + 1}$$

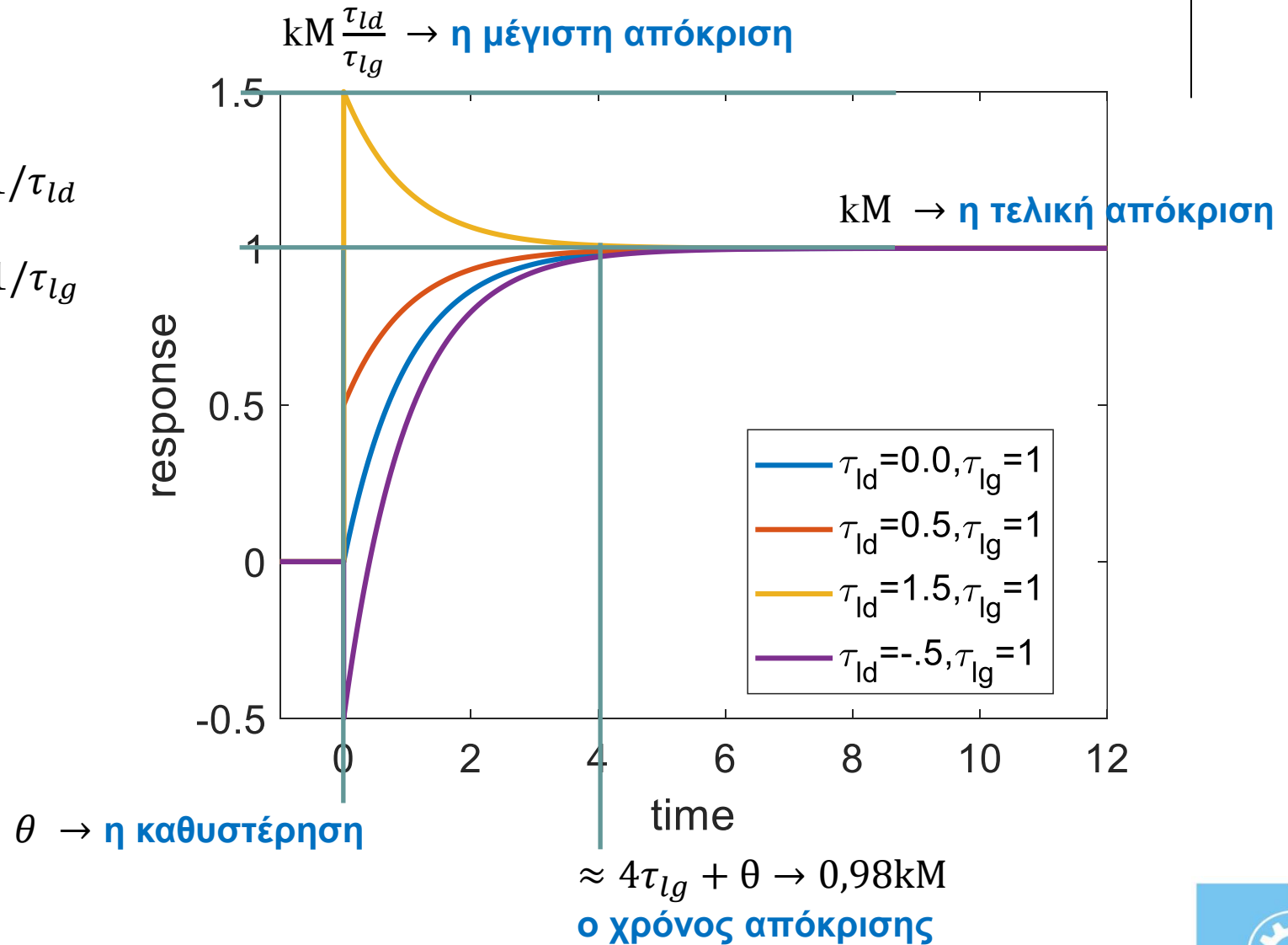
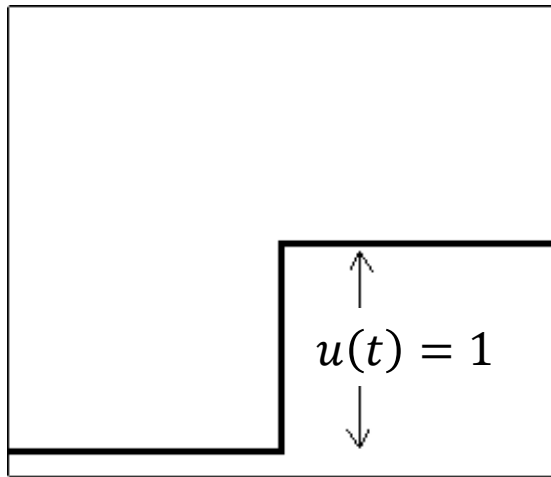
$$y = K \left(1 - \frac{\tau_{lg} - \tau_{ld}}{\tau_{lg}} e^{-\frac{t}{\tau_{lg}}} \right)$$



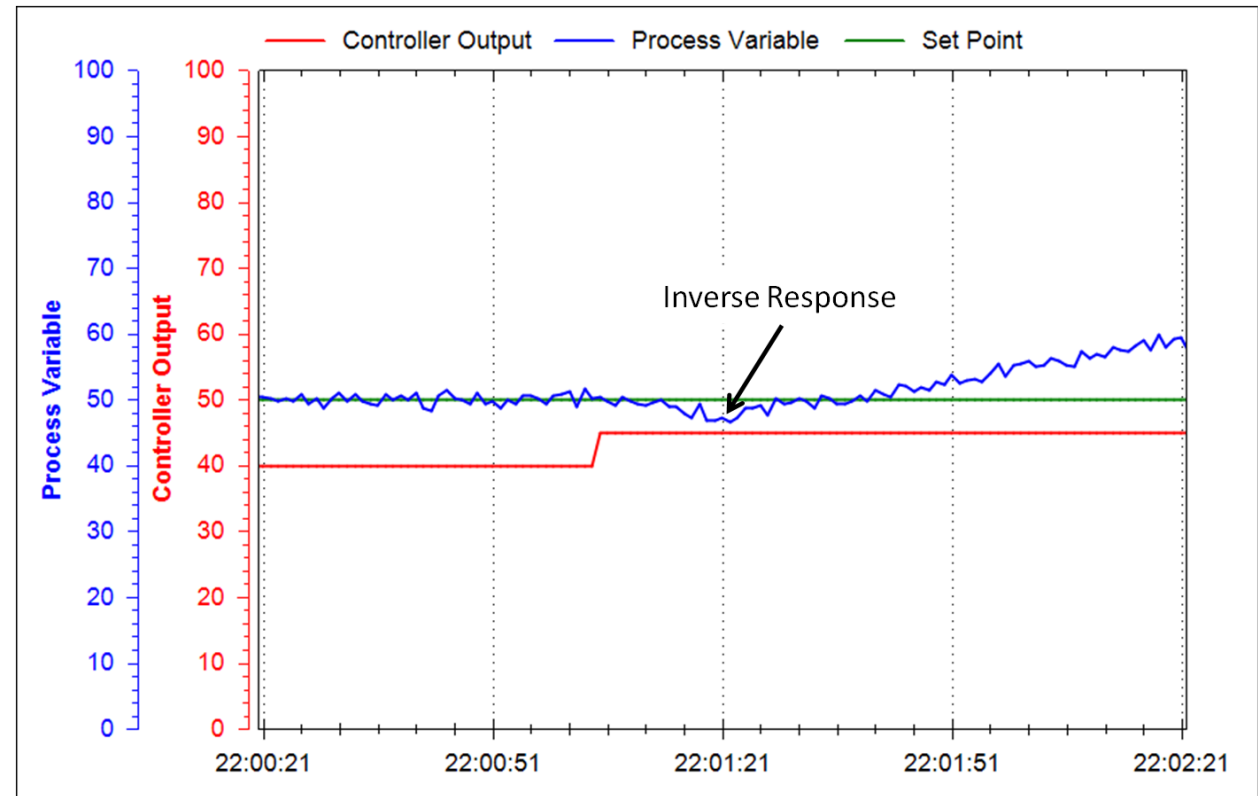
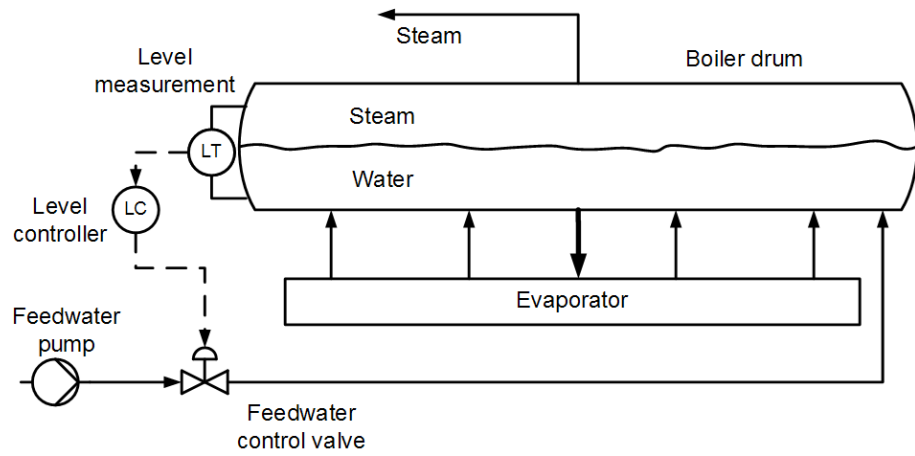
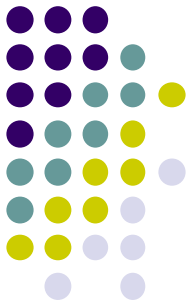


Προβάδισμα-Υστέρηση (lead-lag)

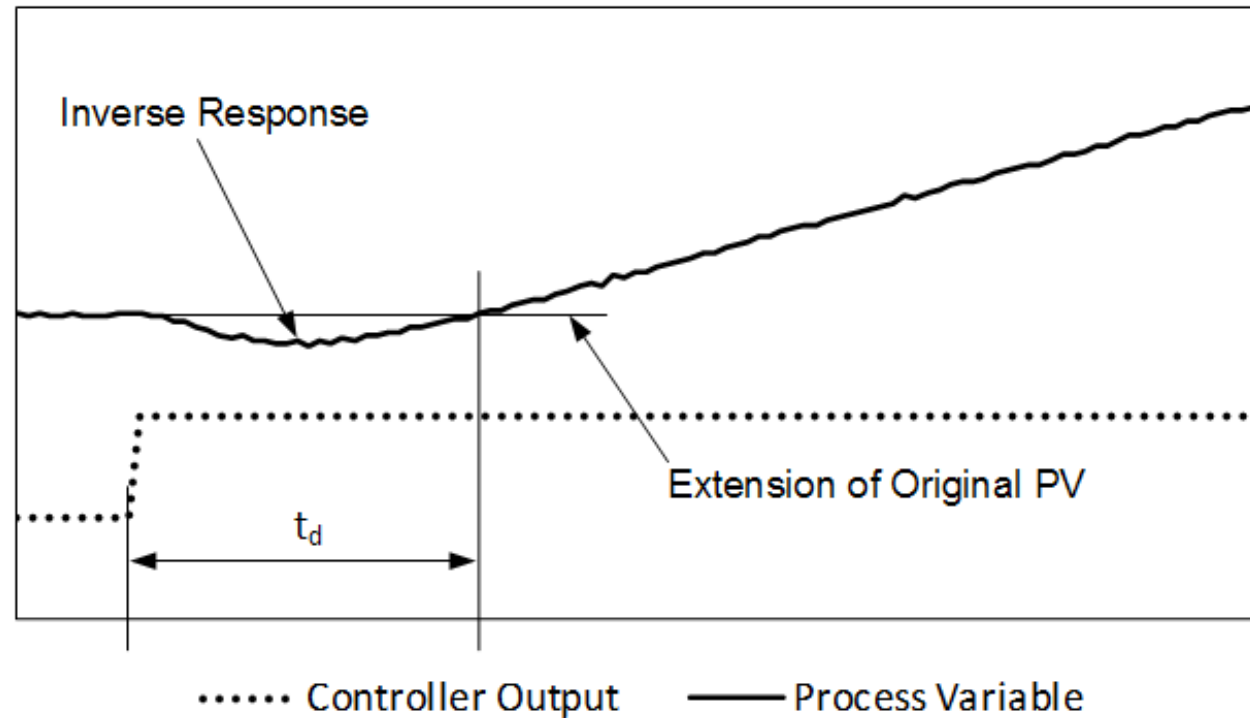
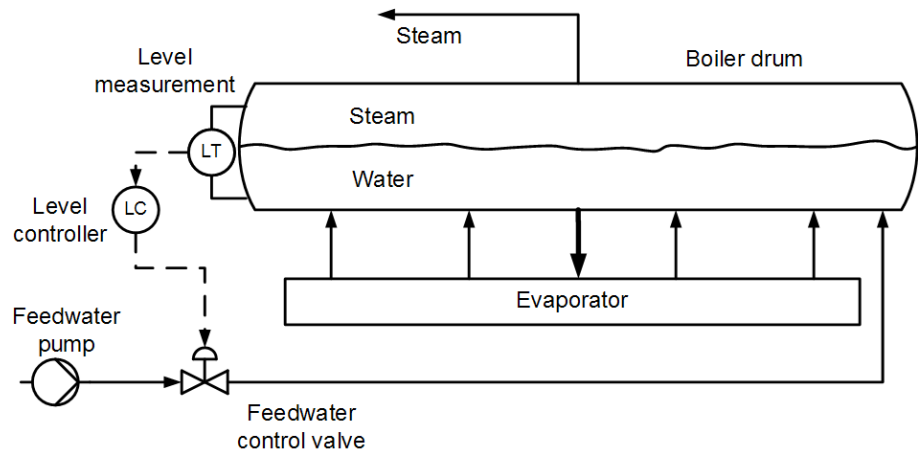
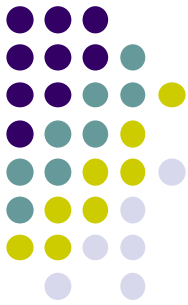
$$G(s) = \frac{\tau_{ld}s + 1}{\tau_{lg}s + 1} \quad \begin{array}{l} z_1 = -1/\tau_{ld} \\ p_1 = -1/\tau_{lg} \end{array}$$



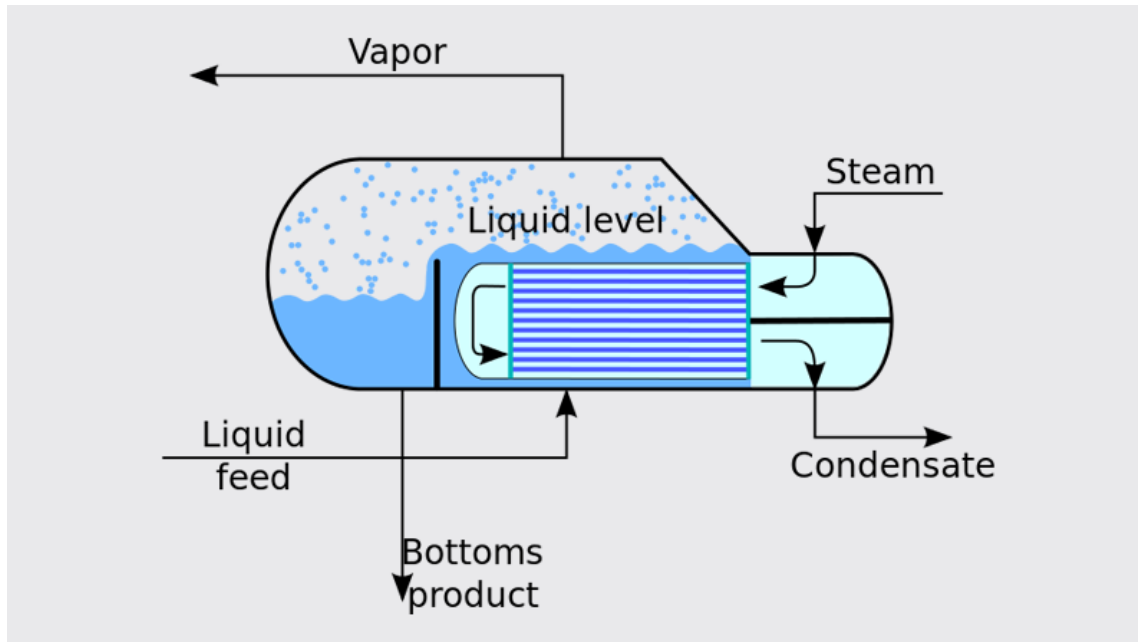
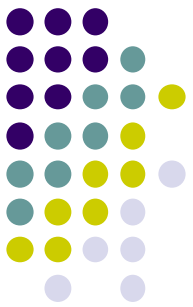
Παράδειγμα αντίστροφης απόκρισης: Στάθμη υγρού σε αναβραστήρα



Παράδειγμα αντίστροφης απόκρισης: Στάθμη υγρού σε αναβραστήρα



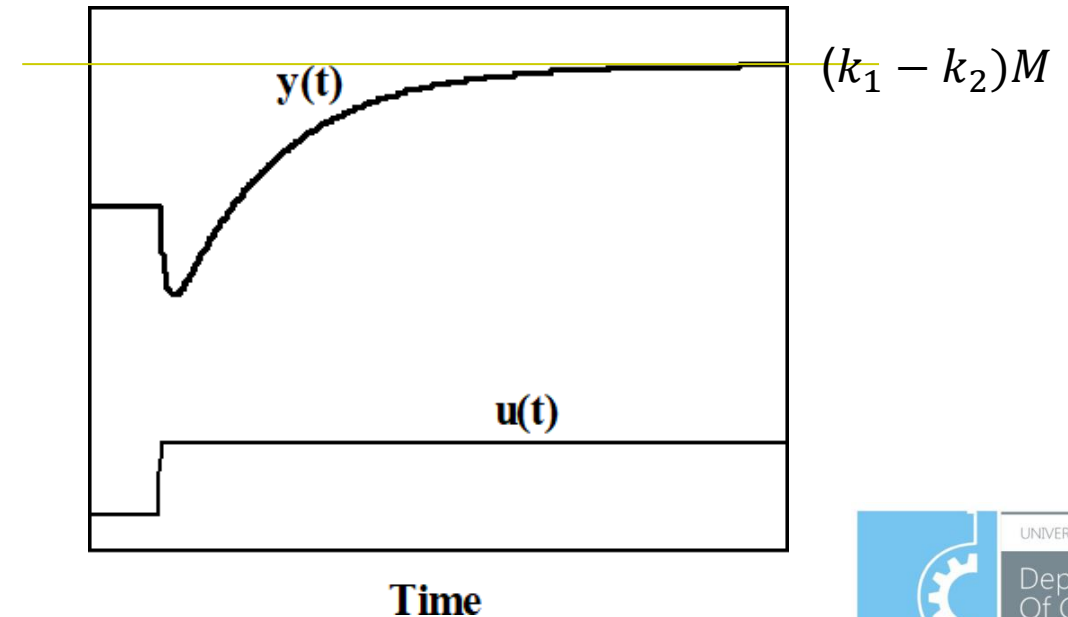
Παράδειγμα αντίστροφης απόκρισης: Στάθμη υγρού σε αναβραστήρα



$$G(s) = \frac{k_1}{\tau_1 s + 1} - \frac{k_2}{\tau_2 s + 1}$$

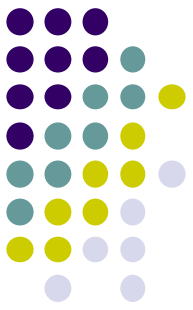
$$k_1, k_2 > 0 \Rightarrow \frac{\tau_1}{\tau_2} > \frac{k_1}{k_2} > 1$$

$$\frac{\tau_1}{\tau_2} < \frac{k_1}{k_2} < 1$$

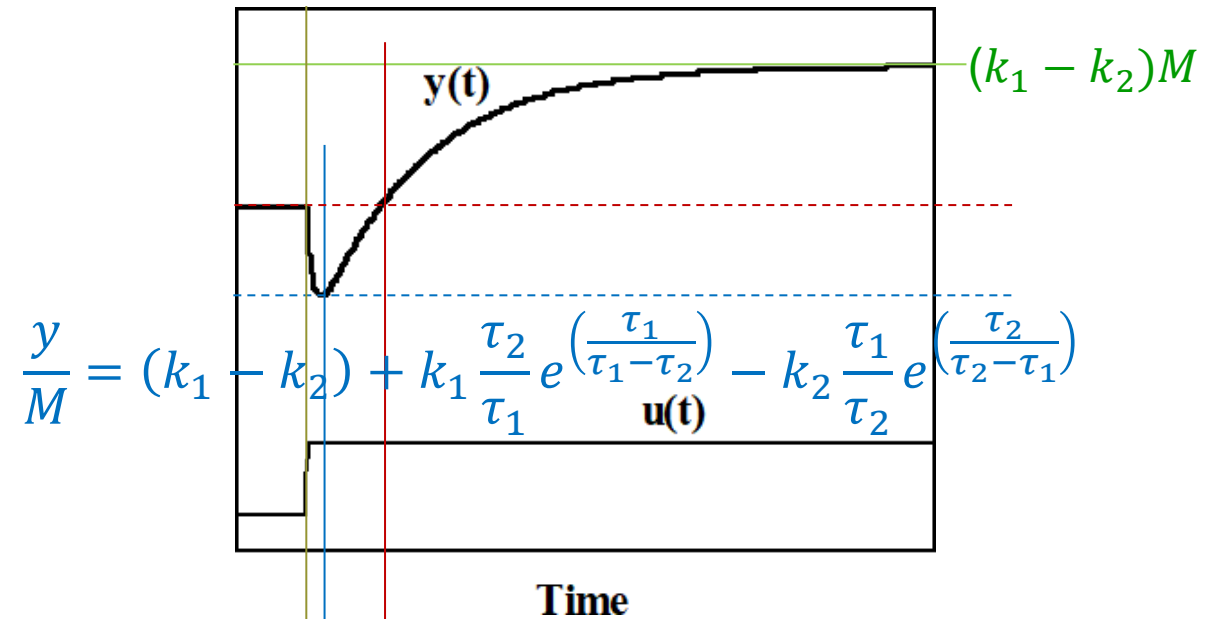
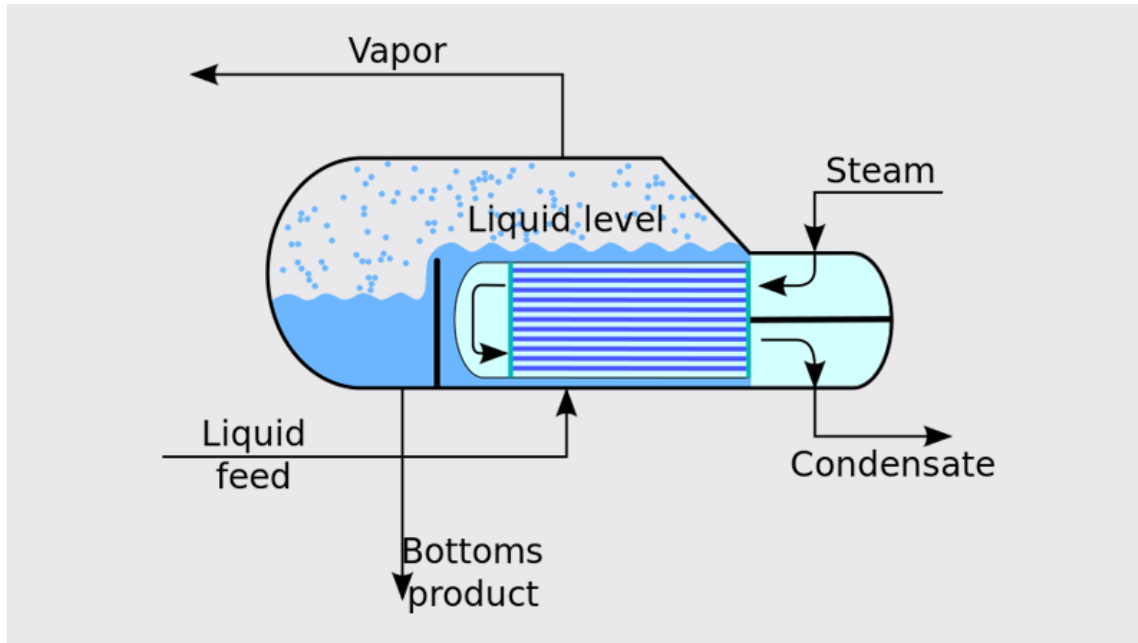


$$G = (k_1 - k_2) \frac{\frac{k_1 \tau_2 - k_2 \tau_1}{k_1 - k_2} s + 1}{(\tau_1 s + 1)(\tau_2 s + 1)} e^{-\theta s}$$

Παράδειγμα αντίστροφης απόκρισης: Στάθμη υγρού σε αναβραστήρα



$$k_1, k_2 > 0 \Rightarrow \frac{\tau_1}{\tau_2} > \frac{k_1}{k_2} > 1$$



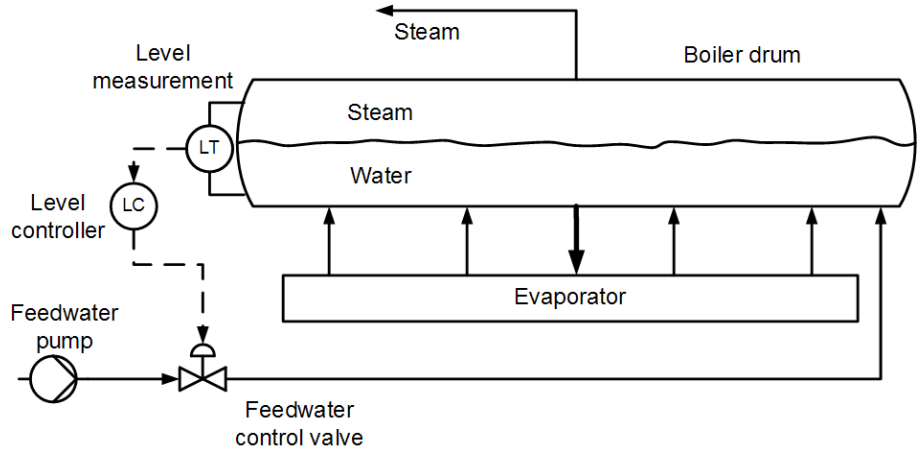
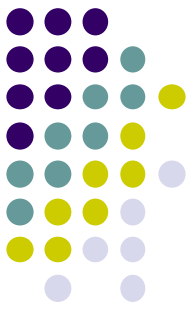
$$\frac{y}{M} = (k_1 - k_2) + k_1 \frac{\tau_2}{\tau_1} e^{\left(\frac{\tau_1}{\tau_1 - \tau_2}\right) u(t)} - k_2 \frac{\tau_1}{\tau_2} e^{\left(\frac{\tau_2}{\tau_2 - \tau_1}\right) u(t)}$$

$$t_d = \tau_1 \ln \left(\frac{k_1 - k_2 e^{-\tau_1/\tau_2}}{k_1 - k_2} \right)$$

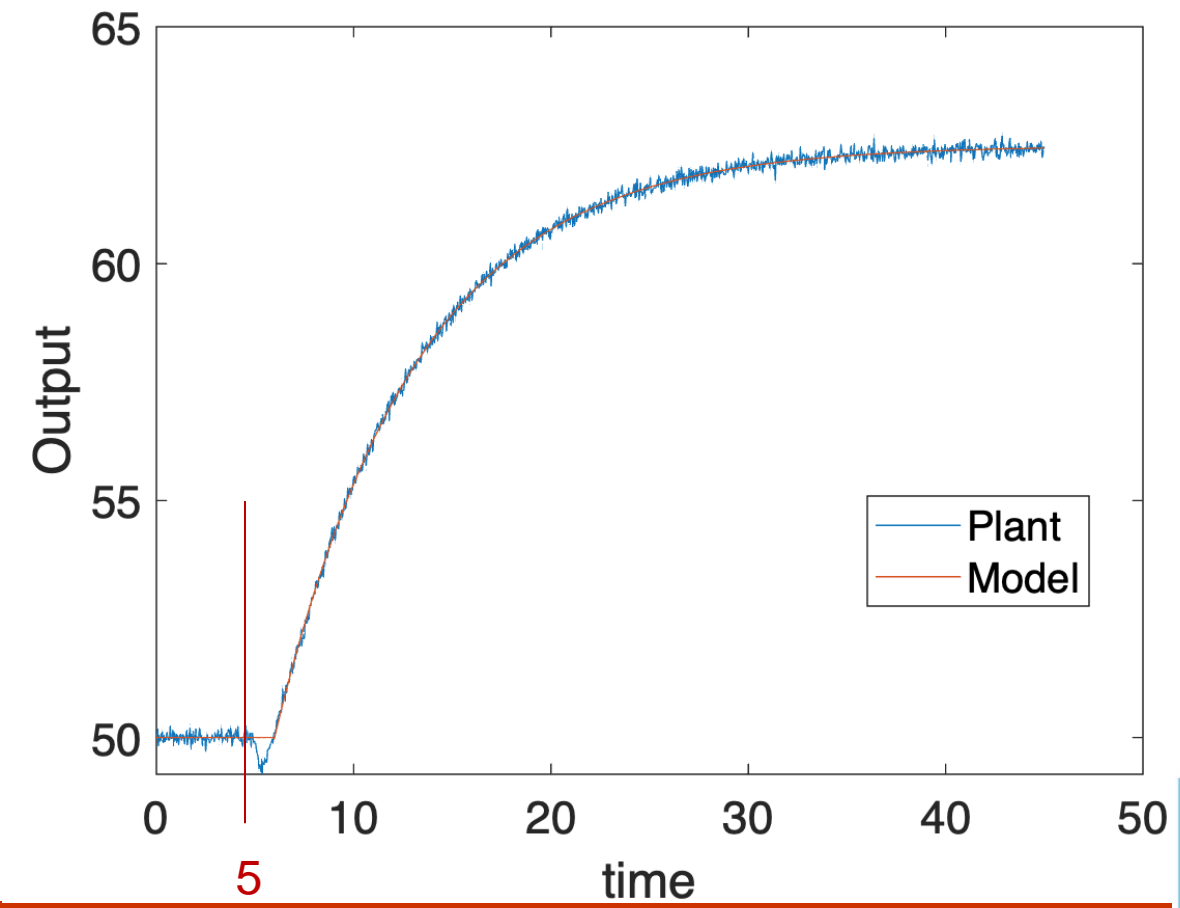
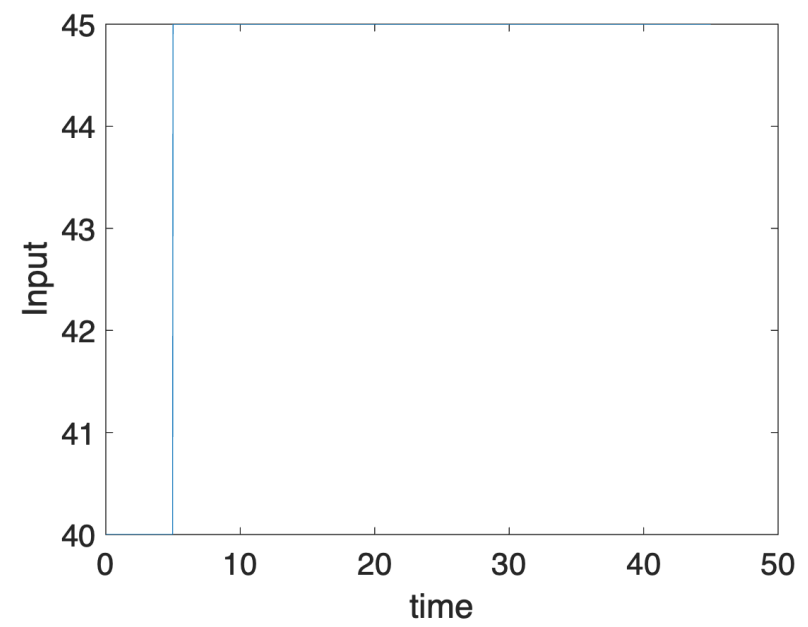
$$t_p = \frac{\tau_1 \tau_2}{\tau_1 - \tau_2} \ln \left(\frac{k_2 \tau_1}{k_1 \tau_2} \right)$$

$$G = (k_1 - k_2) \frac{\frac{k_1 \tau_2 - k_2 \tau_1}{k_1 - k_2} s + 1}{(\tau_1 s + 1)(\tau_2 s + 1)} e^{-\theta s}$$

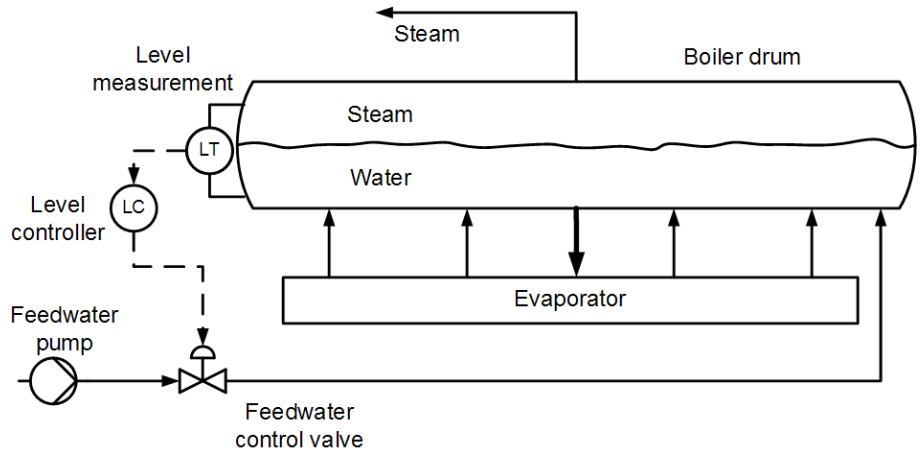
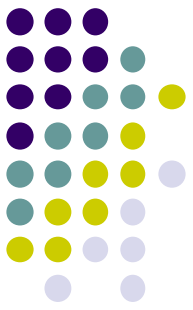
Παράδειγμα αντίστροφης απόκρισης: Στάθμη υγρού σε αναβραστήρα



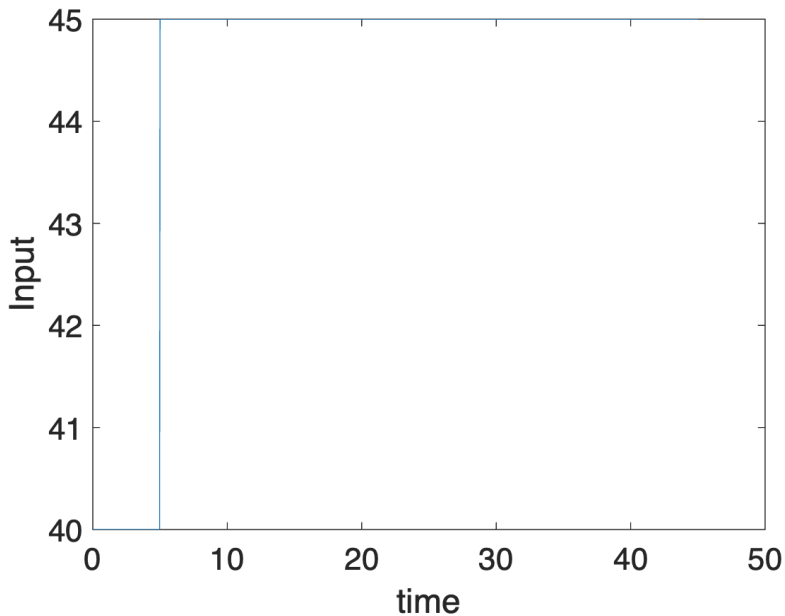
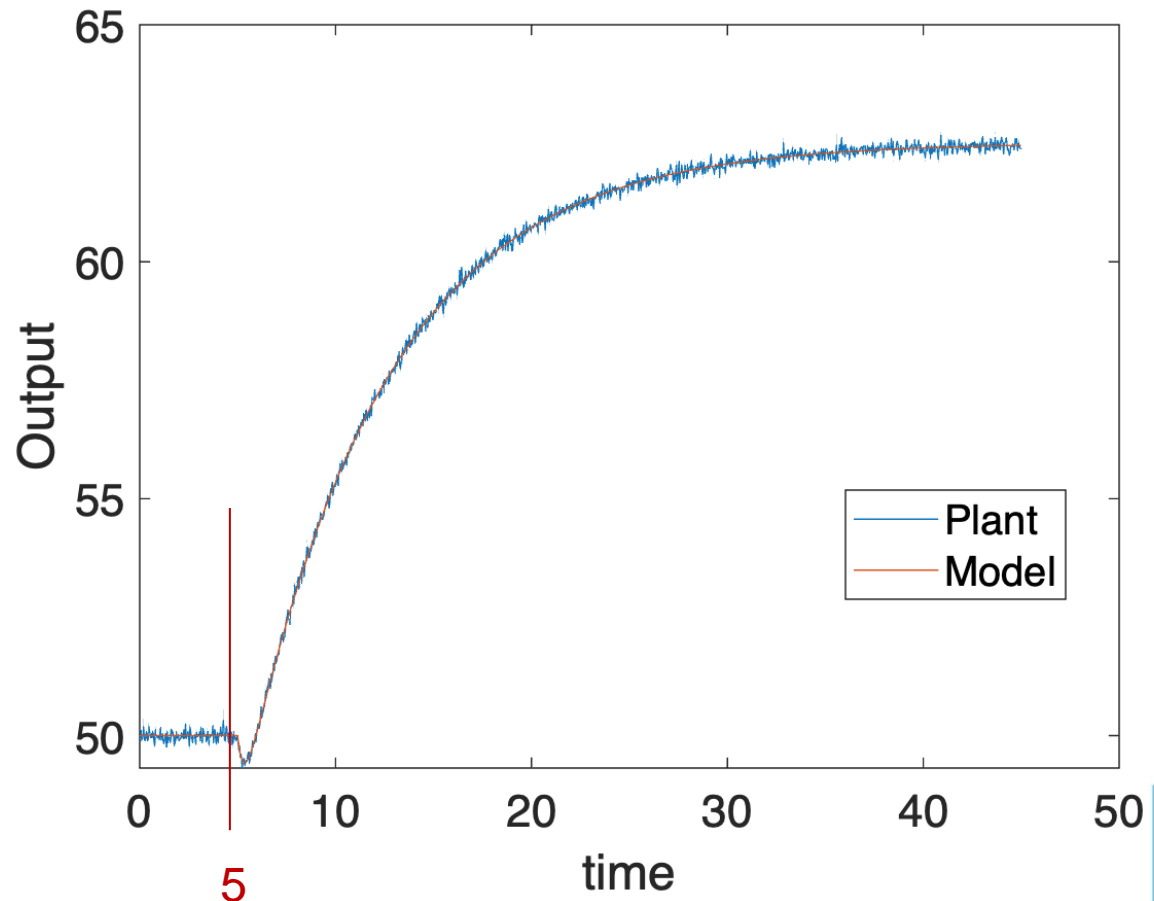
● FODS: $G = \frac{2.5(-0.02s+1)}{7.2s+1} e^{-0.96s}$



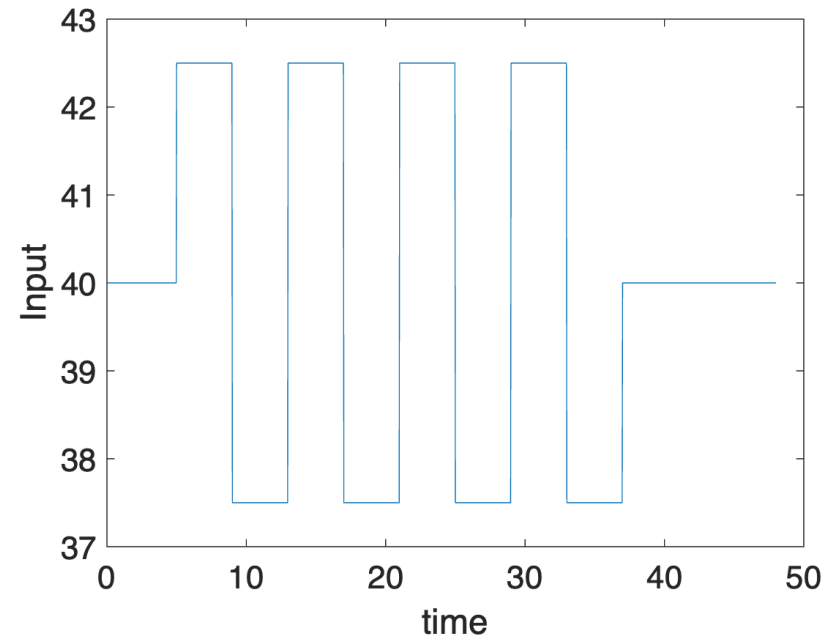
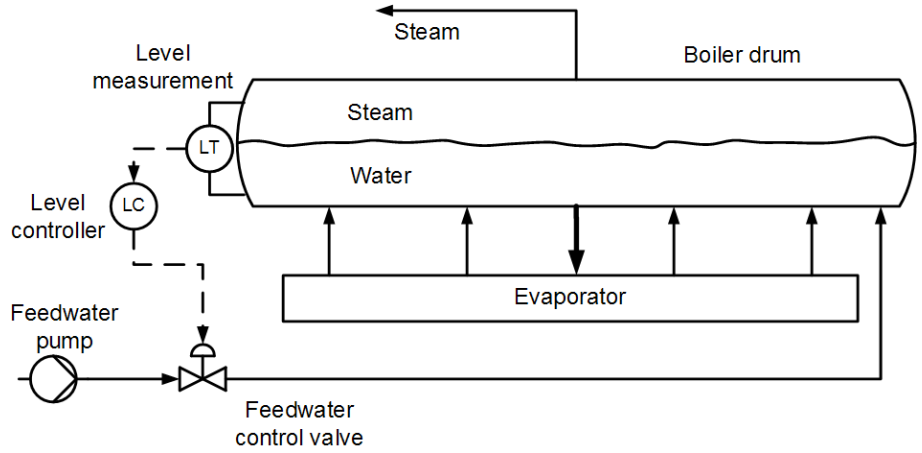
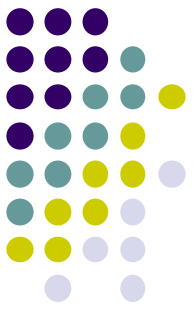
Παράδειγμα αντίστροφης απόκρισης: Στάθμη υγρού σε αναβραστήρα



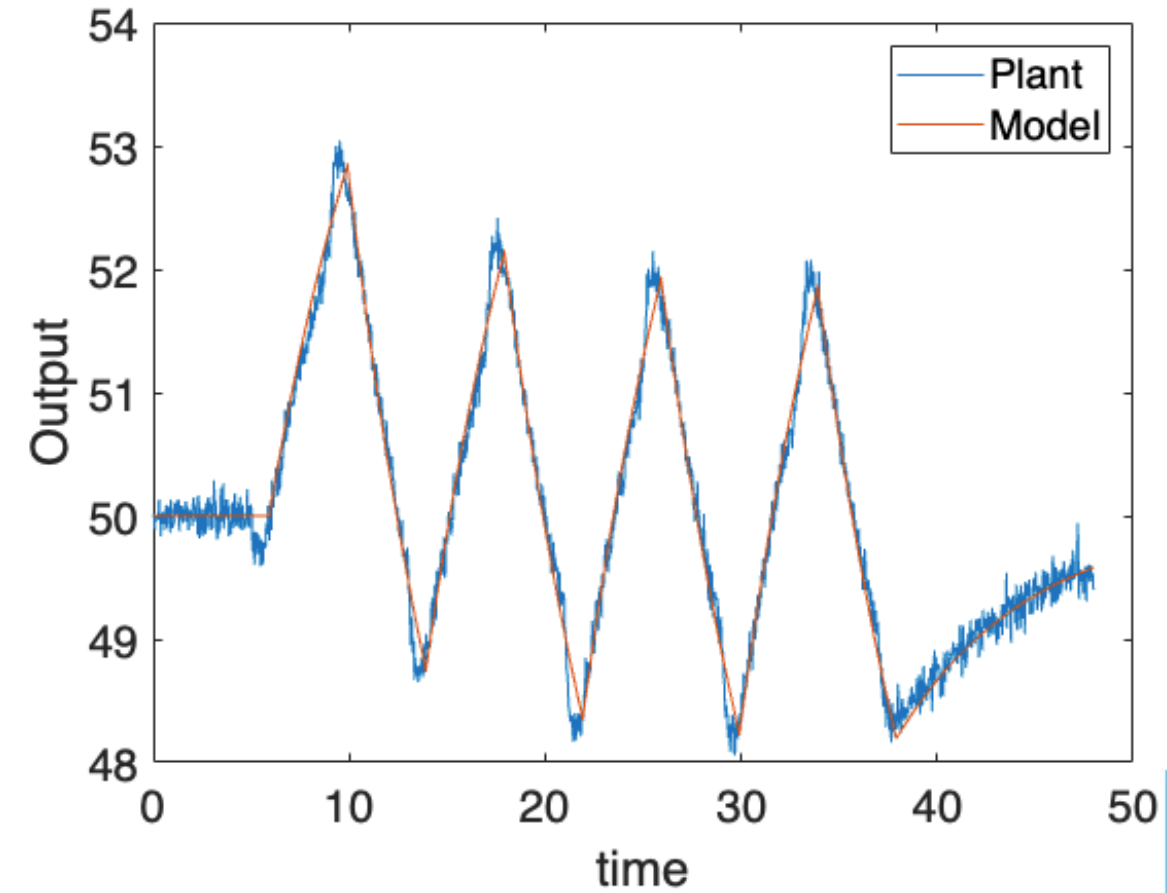
● SODS: $G = \frac{2.5(-0.70s+1)}{(1.47s)^2 + 2.147 \cdot 2.56s + 1} e^{-0.0s}$



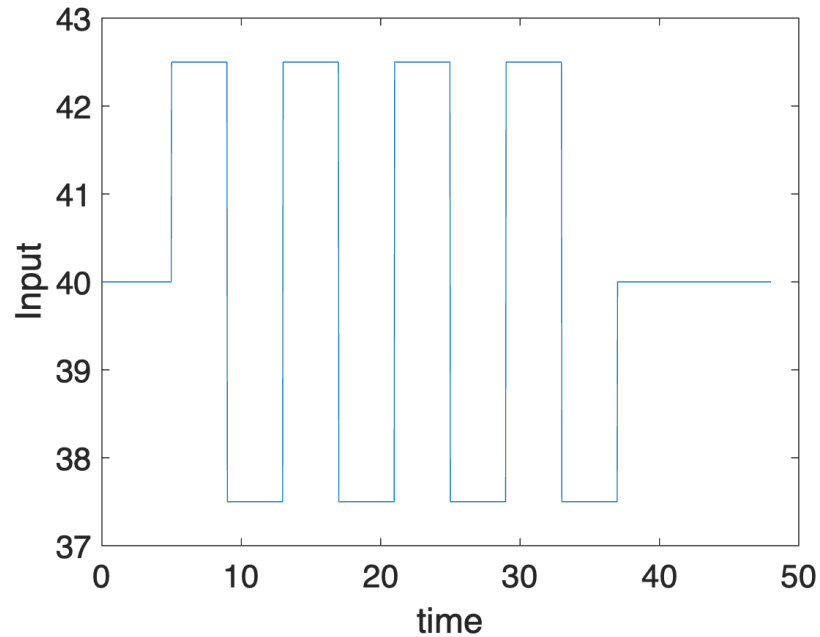
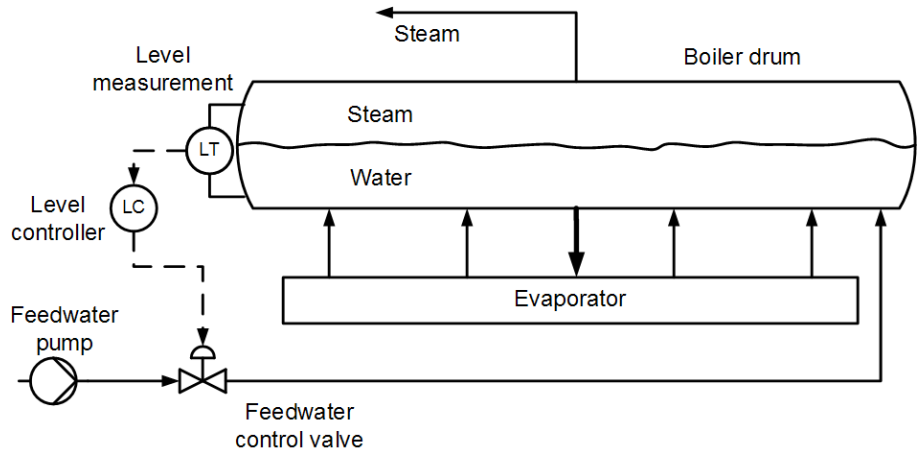
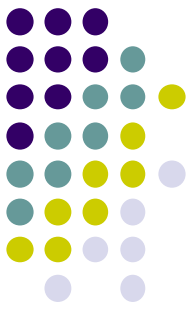
Παράδειγμα αντίστροφης απόκρισης: Στάθμη υγρού σε αναβραστήρα



● FODS: $G = \frac{2.6(-0.016s+1)}{6.9s+1} e^{-0.90s}$



Παράδειγμα αντίστροφης απόκρισης: Στάθμη υγρού σε αναβραστήρα



● SODS: $G = \frac{2.5(-0.71s+1)}{(1.5s)^2 + 2 \cdot 1.5 \cdot 2.5s + 1} e^{-0.0s}$

